

TEMA 4: CARACTERÍSTICAS DE TRANSMISIÓN DE LA FIBRA ÓPTICA

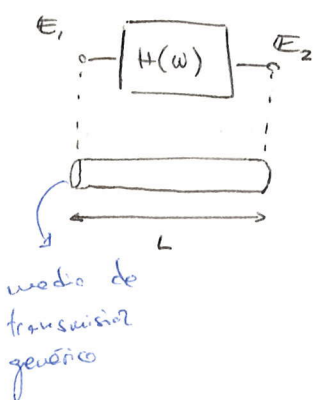
4.1- LA FIBRA ÓPTICA COMO SISTEMA LINEAL

4.2- ATENUACIÓN

4.3- DISPERSIÓN

4.4- LA FIBRA ÓPTICA EN RÉGIMEN NO LINEAL

4.1- LA FIBRA ÓPTICA COMO SISTEMA LINEAL



Para conocer $H(w)$ necesitamos el análisis modelo de ese modo de transmisión

Suponemos que sólo se propaga un modo

$$E_1 = E(x, y, z) e^{-\gamma(w) z_1}$$

$$E_2 = E(x, y, z) e^{-\gamma(w) z_2}$$

$$\Rightarrow \boxed{H(w) = e^{-\gamma(w) \cdot L}}$$

$$\gamma(w) = \alpha(w) + j\beta(w)$$

en el análisis modelo, $\alpha(w)=0$, así que se obtiene de los dos

$\beta(w)$ se obtiene del análisis modelo

$$H(\omega) = e^{-\alpha(\omega)L} e^{-j\beta(\omega)L}$$

$|H(\omega)| \rightarrow e^{j\varphi H(\omega)}$

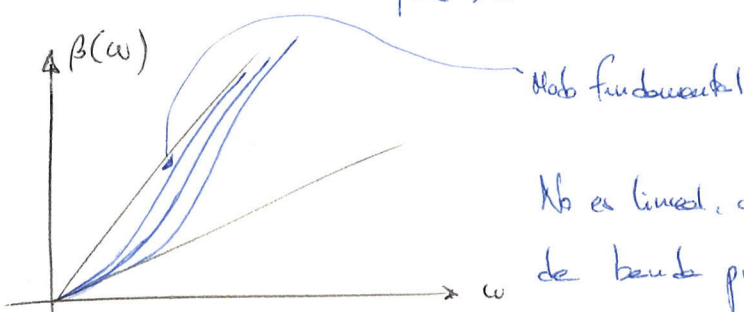
• ¿ $H(\omega)$ del sistema de transmisor ideal?

→ no distorsión (definida) la señal y no la atenua

→ no distorsión $\Rightarrow g(t) = kx(t-t_0) \xrightarrow{\text{TF}} H(\omega) = k e^{-j\omega t_0}$
 $(|H(\omega)| \leq \text{cte})$

→ no atenua $\Rightarrow k = 1$

• fase: $\cancel{H(\omega) = -\beta(\omega) \cdot L}$



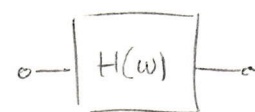
No es lineal, aunque en un cierto ancho de banda puede considerarse lineal

En general, ley distorsión de fase, que en comunicaciones ópticas se llama dispersión

Ojo: el sistema es lineal, pero no lo es $\beta(\omega)$

(repaso del otro dia)

- 1 NODO:



interacciones conmutables causas
en sistemas LTI

$$0 \xrightarrow{L} 0$$

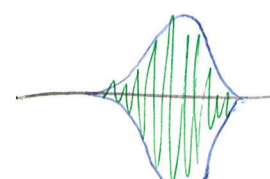
$$H(w) = e^{-\alpha(w)L} e^{-j\beta(w)L}$$
$$\frac{1}{|H(w)|} e^{j\angle H(w)}$$

• modo: depende de frecuencia, pero en las ventanas es aproximadamente constante, por lo que no hay distorsión de amplitud

• fase: $\angle H(w) = -\beta(w)L$ (fin repaso)



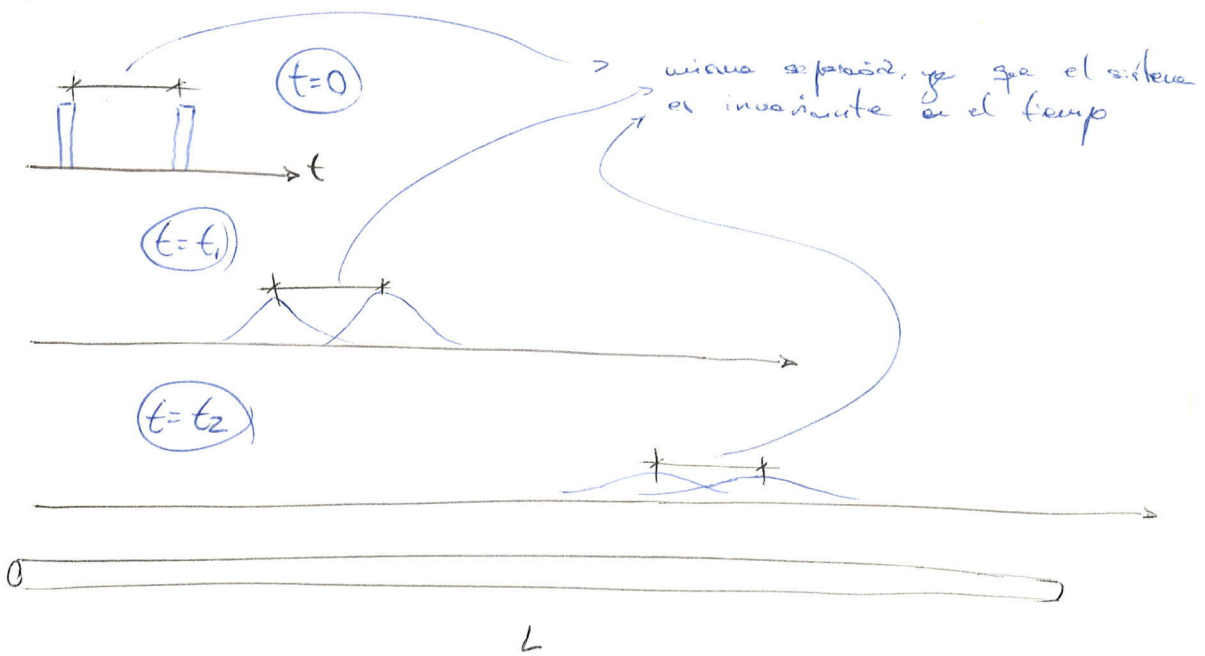
→ incluso para anchos de banda pequeños se pone de manifiesto la no linearidad, por lo que hay distorsión de fase



deformación \Rightarrow ensordecimiento
(en general)

A este ensanchamiento se le llama DISPERSIÓN

- este efecto limita la velocidad máxima de transmisión digital → ¿cómo?



↳ dispersión puede sobrepasar tanto los pulsos que no se pueden distinguir en el receptor

⇒ separar más los pulsos en la entrada, dada una L fija

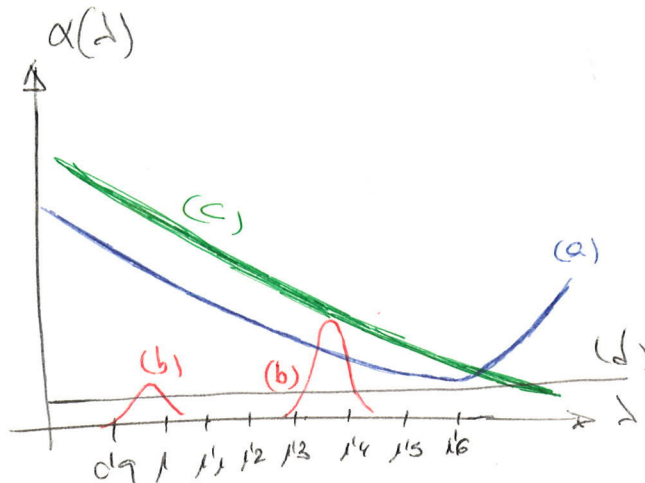
dada L fija ⇒ separar T_{min}

⇒ hay un número máximo de pulsos por segundo
(velocidad máxima de transmisión digital)

En la práctica, el ensanchamiento es proporcional a la longitud

La figura de mérito de la fibra: $R \cdot L$ ($\text{bps} \cdot \text{Km}$)
(R : régimen binario)

4.2 - ATENUACIÓN



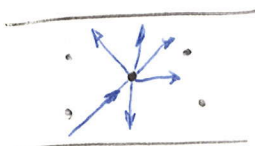
Mecanismos que provocan la atenuación:

1.- Absorción: el material absorbe parte de la energía de la onda (= o calentamiento)

→ absorción en el silice (a)

→ absorción por impurezas (b) ⇒ OH
quiere poco de resorcencia

2.- Scattering: se debe → inhomogeneidad microscópica en la densidad del núcleo ("granos")



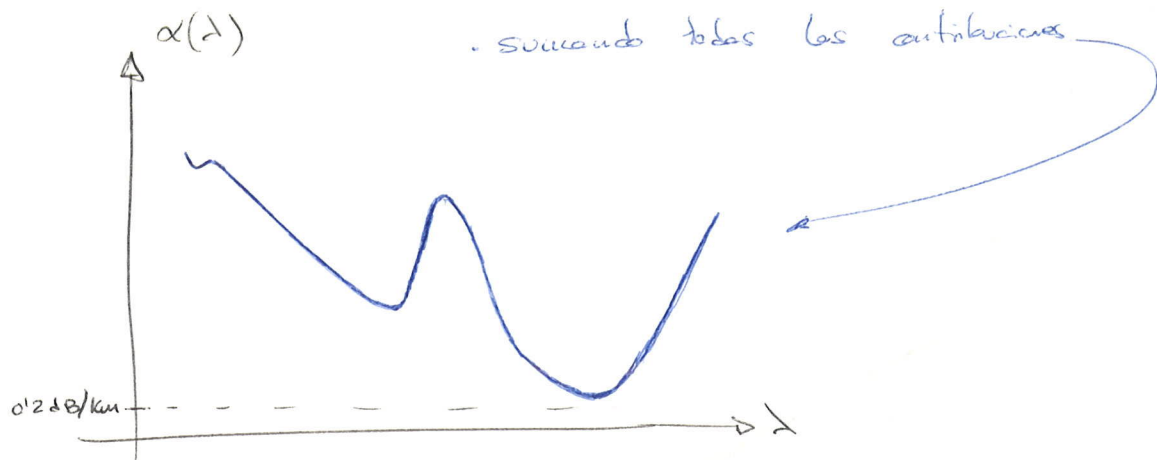
Perde de la energía de las ondas que las → ondas reflejadas

(c)

3.- Microcurvaturas: la sección transversal de la fibra tiene irregularidades en la interfaz vidrio-alumbrado



Su coeficiente (d) es aproximadamente constante en λ

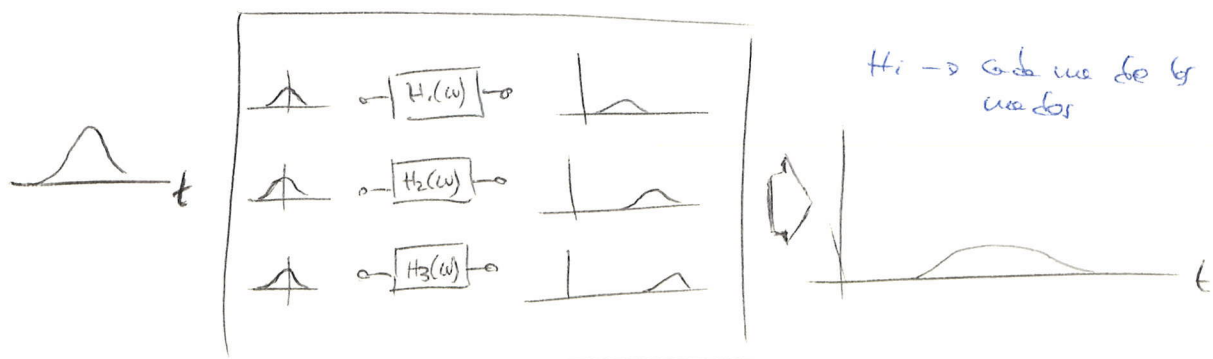


4.3 - DISPERSIÓN

- tipos: descripción cualitativa
- dispersión intramodo
- dispersión intermodo
- combinación de efectos
- producto R·L
- fibra mezada de dispersión modal
- manejo de la dispersión

4.3.1 - TIPOS DE DISPERSIÓN: DESCRIPCIÓN CUALITATIVA

Imaginemos que se pueden propagar 3 modos por la fibra:



La energía del pulso se reparte entre los 3 modos

Fundamento del ensanchamiento: diferentes componentes

frecuenciales viajan \rightarrow distintas velocidades en el medio

DISPERSIÓN: efecto por el cual distintos componentes del pulso viajan a diferentes velocidades

componentes
frecuenciales: dentro de cada modo (INTRAMODAL)
energéticas: entre distintos modos (INTERMODAL)

intramodal: relación $\alpha \sim \beta(\omega)$ no lineal con ω

$$L_{\text{max}} = \min(L_1, L_2)$$

L_1 viene limitada por la dispersión

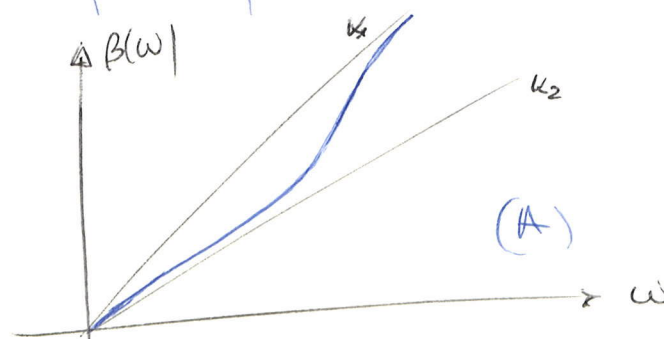


L_2 viene limitada por la atenuación

(para un régimen binario fijo)

- DISPERSIÓN INTRAMODAL

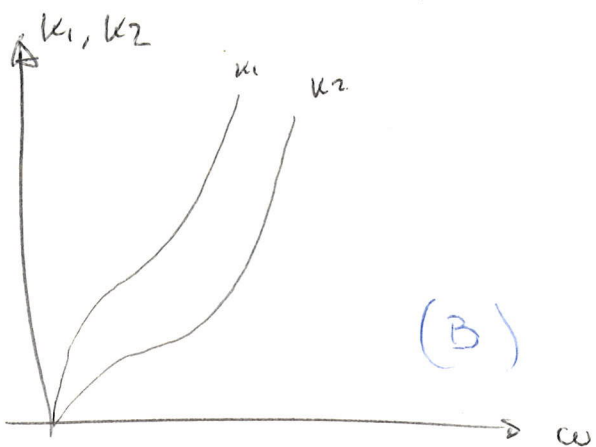
Se debe a que distintas componentes frecuenciales del pulso viajan a distintas velocidades



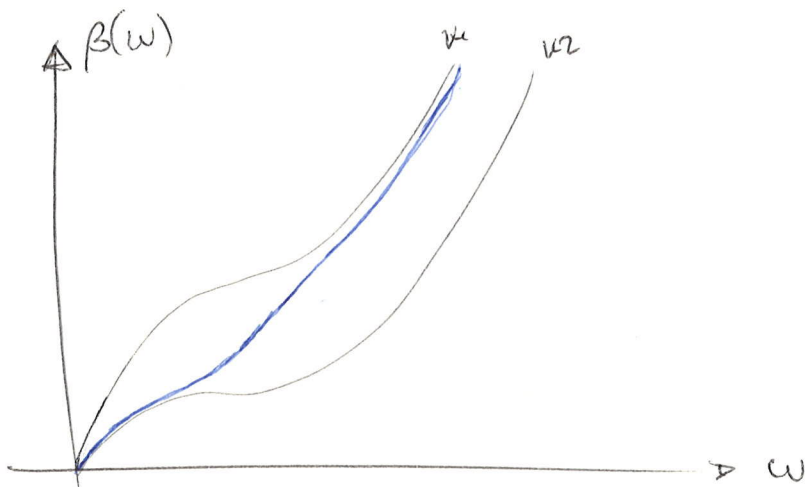
$$k_i = \frac{\omega}{c} u_i$$

$$u = u(\lambda)$$

los verdaderos K_1 y K_2 dependen también de ω :



Para ser rigurosa, habría que repetir el análisis model



2 causas para esto ve linearidad:

- el propio mecanismo de giro (A)
- el material de la fibra tiene un índice de reflexión que varía con la frecuencia = efecto del material (B)

Dispersión intrínseca / de giro
de giro / del material

Se pierde la el caso de concebirla si la componente que viaja más rápida la hace por el camino más largo

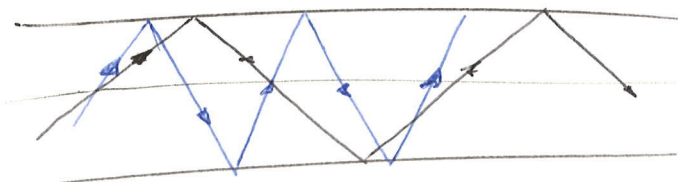
- DISPERSIÓN INTERMODAL

Diferentes componentes energéticas viajan a diferente velocidad

Solo en envoltorio

- Segú la óptica geométrica:

(señales diferentes tienen ángulo corriente diferente)



Ojo dentro de los web, además, hay dispersión intrínseca

Equivalentes acústicos: alteraciones en el Precio o en la estación de Reunión \Rightarrow rebotes, interferencias, ... total, que no se entiende lo que dicen

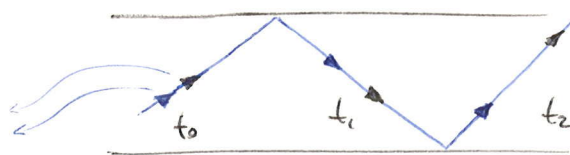
Existe 6 posibilidades de que ambos efectos se cancelen en algunos rangos de frecuencia (λ), aunque 6 veces es que se obtiene

- Según la óptica geométrica:

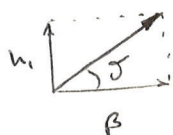
- máximo: $u \rightarrow V = \frac{c_0}{u}$

$u = u(\lambda)$ en determinado ángulo

2 amplitudes
frecuenciales



• gálibo:



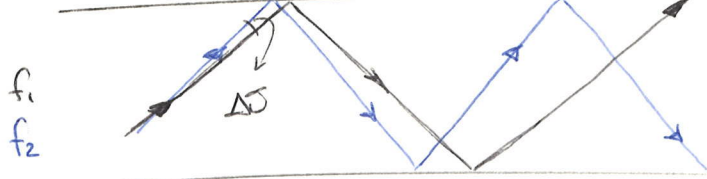
$u = u(\lambda) \Rightarrow$ "distintas cobres van distintas densidades"

2 distintas amplitudes frecuenciales
vienen a distintas velocidades y
con 6 amplitudes trayectorias

$$\beta = \beta(\omega)$$

$$u_i = u_i(\omega) \Rightarrow \Delta \lambda = \Delta \omega$$

Si varía la frecuencia, el
ángulo asociado cambia
ligeramente



Diferentes amplitudes frecuenciales vienen a la misma velocidad en trayectorias distintas

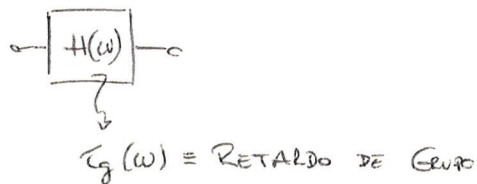
4.3.2 - DISPERSIÓN INTRAMODAL

Estrategia:

- 1- Calcular el ensanchamiento de los pulsos
- 2- Establecer un criterio de solapamiento máximo
⇒ velocidad de transmisión

Lo ideal es que a partir de $H(\omega)$, tengamos una función

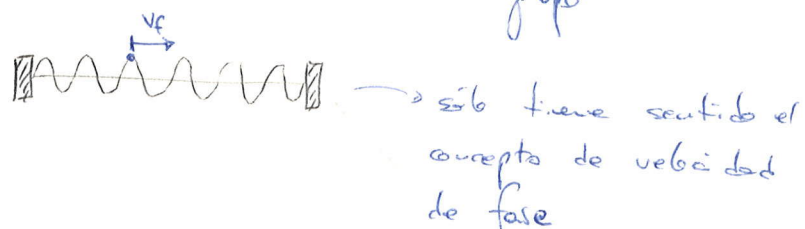
$\tau_g(\omega)$ que nos diga lo que se retrasa cada componente frecuencial. (retardo \rightarrow velocidad)



- Problema: velocidad de fase vs velocidad de grupo

• onda monocromática

(asociada a un régimen permanente)

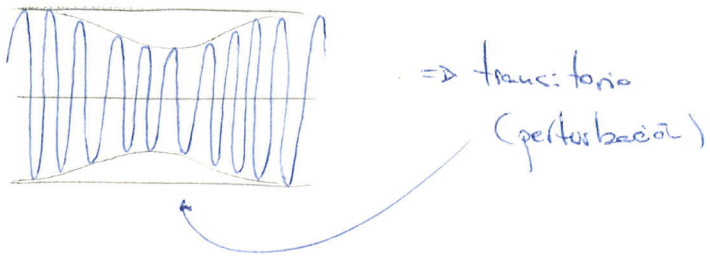


Hay un flujo de energía continuo. No hay principio ni fin, por lo que no tiene sentido hablar de velocidad de transmisión de energía.

No hay limitación física para este velocidad ⇒ puede ser mayor que la de la luz.

$$\boxed{v_f = \frac{\omega}{\beta}}$$

* pulso modulado:



Ronda sentido la velocidad de fase

Perturbación = información \Rightarrow velocidad de grupo: velocidad de propagación de esa perturbación

Diferencia analíticamente:

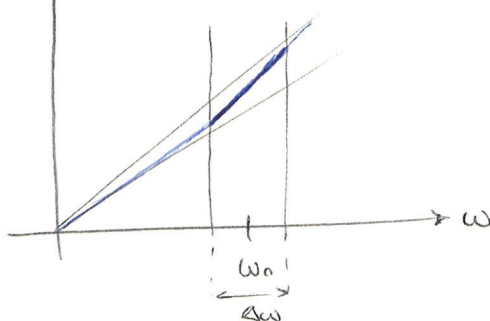
$$x(t) = g(t) e^{i\omega_0 t} \xrightarrow{H(\omega)} y(t) = T F^{-1} \{ X(\omega) \cdot H(\omega) \} = g(t - \frac{\tau}{v_g}) e^{i\omega_0 (t - \frac{\tau}{v_g})}$$

$H(\omega) = e^{-i\beta(\omega) \cdot L}$

(Admitimos banda)

estrecha: $\Delta\omega \ll \omega_0$

$$\beta(\omega) = \beta(\omega_0) + \underbrace{\frac{d\beta}{d\omega}}_{\beta_0} \Big|_{\omega_0} (\omega - \omega_0) + \underbrace{\frac{1}{2} \frac{d^2\beta}{d\omega^2}}_{\beta_2} \Big|_{\omega_0} (\omega - \omega_0)^2 + \dots$$

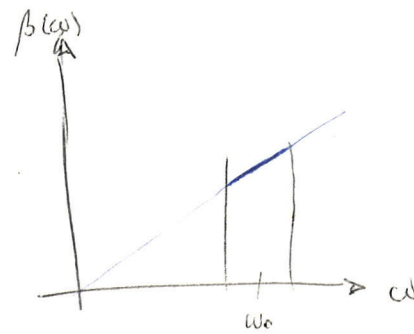


Banda estrecha $\rightarrow \beta_i = 0 \quad i \geq 2$
(o el ancho de banda die funcionamiento)

$$\boxed{v_g = \frac{d\omega}{d\beta}}$$

Propósito: hacer $y(t)$

→ caso 1: β constante con la frecuencia



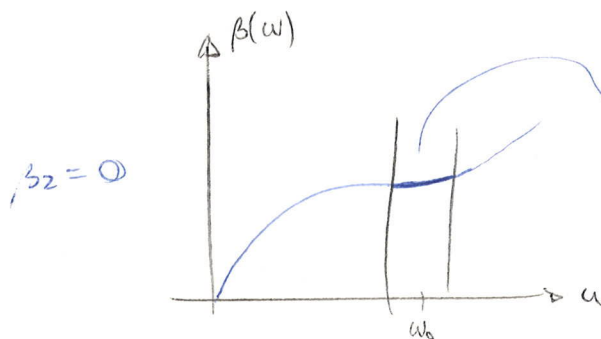
$$\beta_2 = 0$$

$$V_f = V_g = \text{cte}$$

este sería el medio ideal



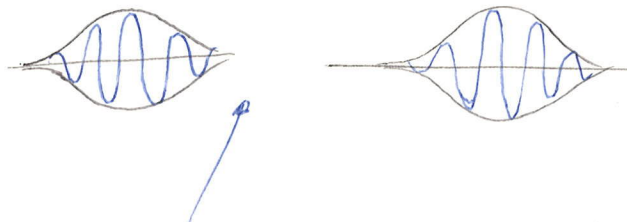
→ caso 2:



a primera derivada linear

$$\text{Si: entorpego, } \frac{d\omega}{d\beta} \neq \frac{\omega}{\beta}$$

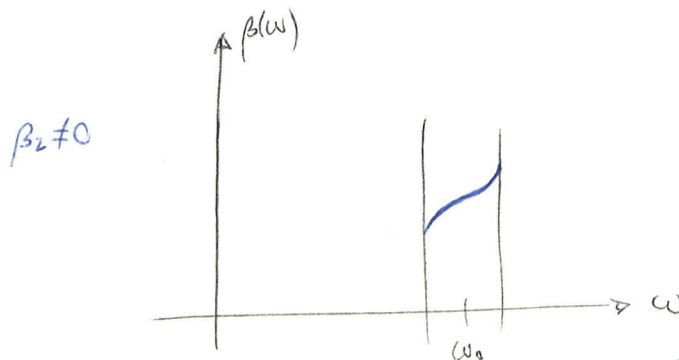
$$V_f \neq V_g = \text{cte}$$



la envolvente va a una velocidad
distinta que la portadora

→ la envolvente va se
deforma.

→ caso 3:



Ahora $\frac{d\omega}{d\beta}$ va es constante

$$\Rightarrow V_g = V_g(\omega) = \frac{d\omega}{d\beta}$$



(f & rápidas y f & lentas)

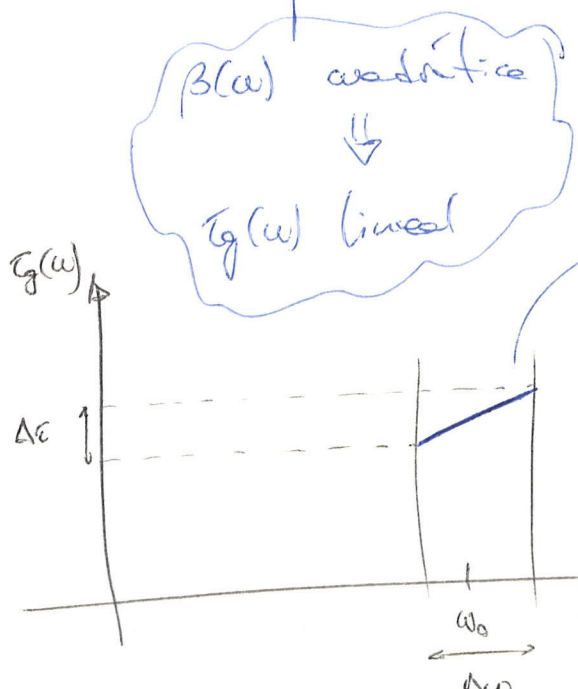
$$\left| \frac{\tau_g(\omega)}{Vg(\omega)} = \frac{L}{Vg(\omega)} \right| = L \frac{d\beta}{d\omega}$$

- Aproximación de primer orden en el estudio de fenómenos dispersivos:

Un sistema sin dispersión es aquél en el que $\beta(\omega)$ es lineal, por lo que $Vg(\omega) = \text{cte}$ y así $\tau_g(\omega) = \text{cte}$
 \Rightarrow no hay ensanchamiento de pulso

Vamos a considerar en nuestro estudio la mitad de la linealidad de $\beta(\omega)$

La aproximación consiste en suponer



en este planteamiento
 se mide la precisión
 del ensanchamiento del
 pulso $\equiv \Delta\tau$

$$\Delta C = \left. \frac{dC}{d\omega} \right|_{\omega_0} \cdot \Delta \omega \xrightarrow[\Delta \omega \ll \omega_0]{\lambda = \frac{2\pi c_0}{\omega}} \Delta C = \left. \frac{dC}{d\lambda} \right|_{\lambda_0} \Delta \lambda$$

(ejercicio: hacerlo)

Introducimos el parámetro dispersión: (intensidad)

$$D(\lambda) = \left. \frac{1}{L} \frac{dC}{d\lambda} \right|_{\lambda_0} \quad (ps/\text{nm.km}) \xrightarrow{\text{unidades}} \text{intensidad}$$

los ps que se emiten en un pulso por
centro km recorrido y por cada nm de anchura
espectral de la señal

Usando para ΔC :

$$\Delta C = D(\lambda_0) \cdot L \cdot \Delta \lambda$$

Ancho de banda de la señal

modulación

ancho espectral de la fuente \leftarrow
(el que más influye)

interesa usar fuentes con poco
ancho espectral (en resumen)

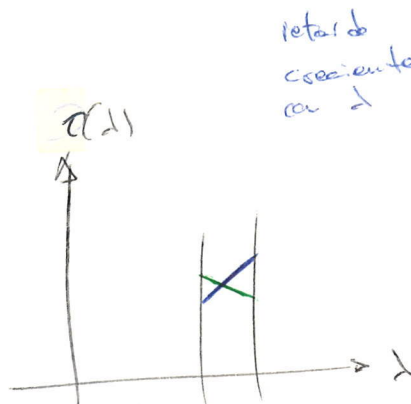
En multimodo afecta cuantas más anchuras espectrales de la fuente

Ejemplos de alto velocidad: nanosegundo láser

en $D(\lambda)$ influye $\beta_2 = \text{linealidad de } \beta(\omega)$
(derivada 2^a)

ejercicio: expresar $D(\lambda)$ como función de β

- $D(\lambda)$ puede ser positivo o negativo



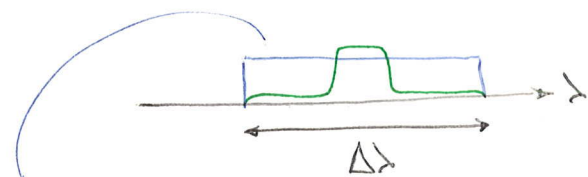
referido
descendente
con λ

a la hora de determinar el ensanche
miento de los pulsos, de igual si
se refieren mas las frecuencias
altas o las bajas

$$\Rightarrow \Delta\tau = |D(\lambda_0)| \cdot L \cdot \Delta\lambda$$

- Anchura RMS

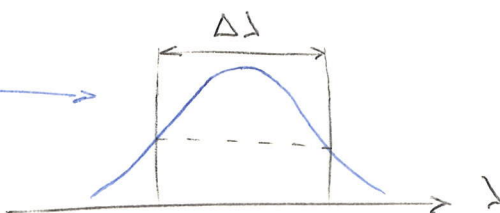
$\Delta\lambda$: anchura absoluta



anchura de ensanche estricto

En óptica se suelen usar
otras formas de medida de anchura:

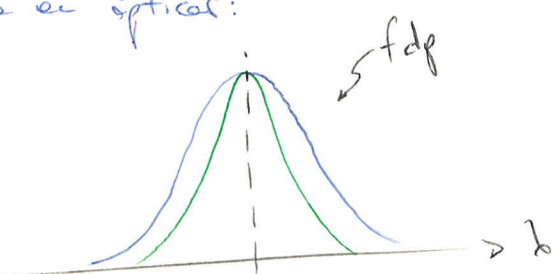
anchura = 3dB



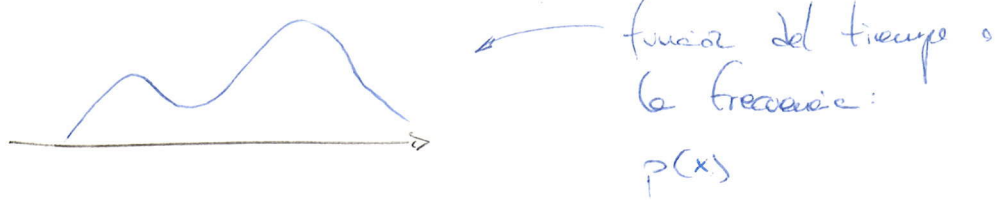
o sea equivalentemente muy usada en óptica:

→ anchura RMS:

varianza: concepto de Variable
Aleatoria



Se define la anchura RMS de una forma de onda como la
desviación típica de esa forma tomando como la fdp.



$$\sigma^2 = \int_{-\infty}^{\infty} x^2 p_n(x) dx - \left(\int_{-\infty}^{\infty} x p_n(x) dx \right)^2$$

dnde $p_n(x) = \frac{p(x)}{\int_{-\infty}^{\infty} p(x) dx}$ ← normalización del área
→ δ

$\text{GyD}: p(x) \geq 0 \quad \forall x$

→ equivalente de un pulso

→ respectiva

→ amplitud siempre sea positiva

Expresión

$$\boxed{\sigma = D(\lambda_0) L \tau_2}$$

análisis RMC de la señal que se manda: τ_2

• Material y gisado no son independientes \rightarrow ¿ $D(\lambda)$?

(resuelto en el Kaiser)

$$D(\lambda) = D_m(\lambda) + D_w(\lambda)$$

material

gisado

No vale si va a operar con un número muy preciso

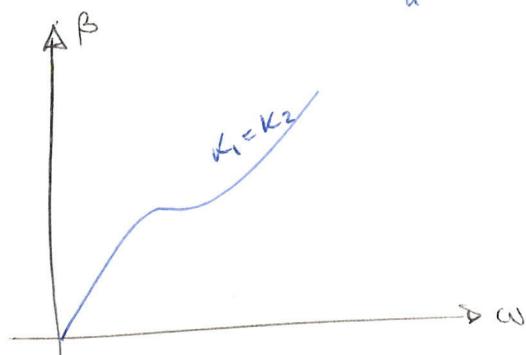
$D_m(\lambda) \rightarrow$ influencia del material ignorando el gisado

$D_w(\lambda) \rightarrow$ influencia del gisado ignorando el material

MATERIAL:

¿Cómo es el gráfico?

Por ejemplo, $u_1 = u_2 \Rightarrow$ "descontar la fibra"



características de propagación del material

$$\boxed{\beta(\omega) = \frac{\omega}{c} n = \frac{2\pi}{\lambda} u(\lambda)}$$

no existen medas

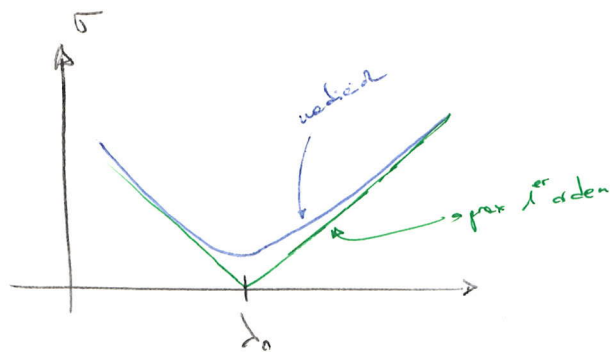
(ejemplo: boro)

$$\boxed{Du(\lambda) = -\frac{\lambda}{c} \frac{d^2 u(\lambda)}{d\lambda^2}}$$

→ ve tenemos expresiones analíticas para $u(\lambda)$ ni $\beta(\omega)$
= 0 formas para $Du(\lambda)$

→ cosa de variar de $u(\lambda)$ para el óptico (transparencia)

Enanchamiento de los pulsos:

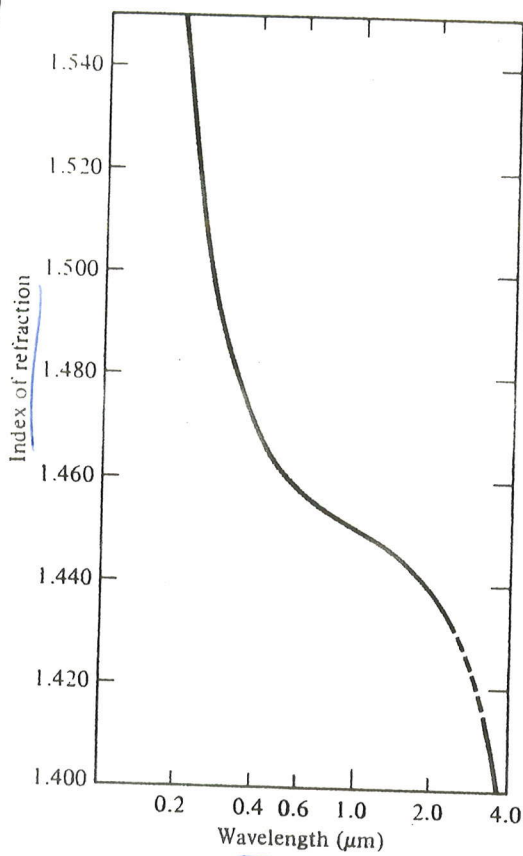


VARIACIÓN DEL ÍNDICE DE REFRACCIÓN CON λ EN SÍLICE

4° TEL. SUP.

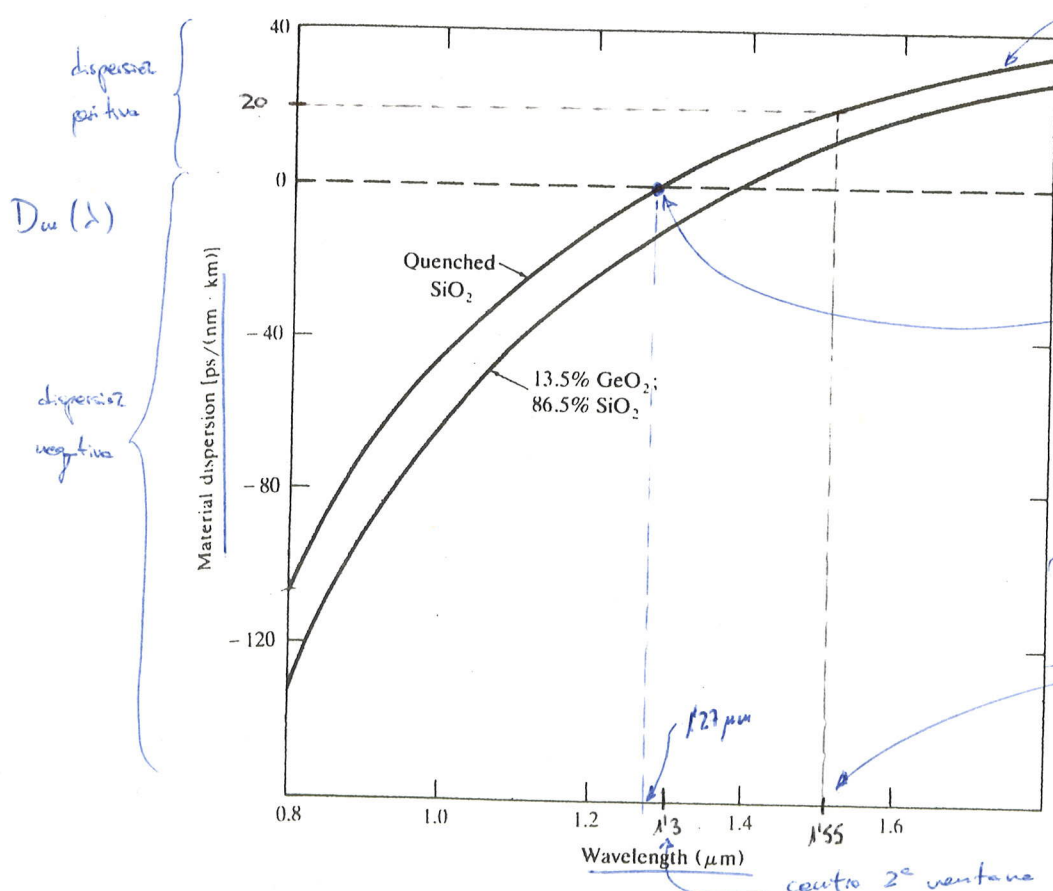
0'24 =

56



Variations in the index of refraction as a function of the optical wavelength for silica. (Reproduced with permission from I. H. Malitson, *J. Opt. Soc. Amer.*, vol. 55, pp. 1205-1209, Oct. 1965.)

DISPERSIÓN DEL MATERIAL (SILICE)



acto es lo que
normalmente se ve

no se anulan los
 pulsos $\beta_2 = 0$: esto es una approx.,
 hemos considerado $\beta_1 = 0$ y
 que debo ser verdadera
 $\beta_2 = 0$, pero habrá que tener en
 cuenta β_3 en adelante
 Por tanto, en esa Δ y su entorno
 no vale la aproximación de 1er
 orden. En lo prácticas no hay un
 nublo, pero si un
 gran ventarrón mínimo de
 dispersión

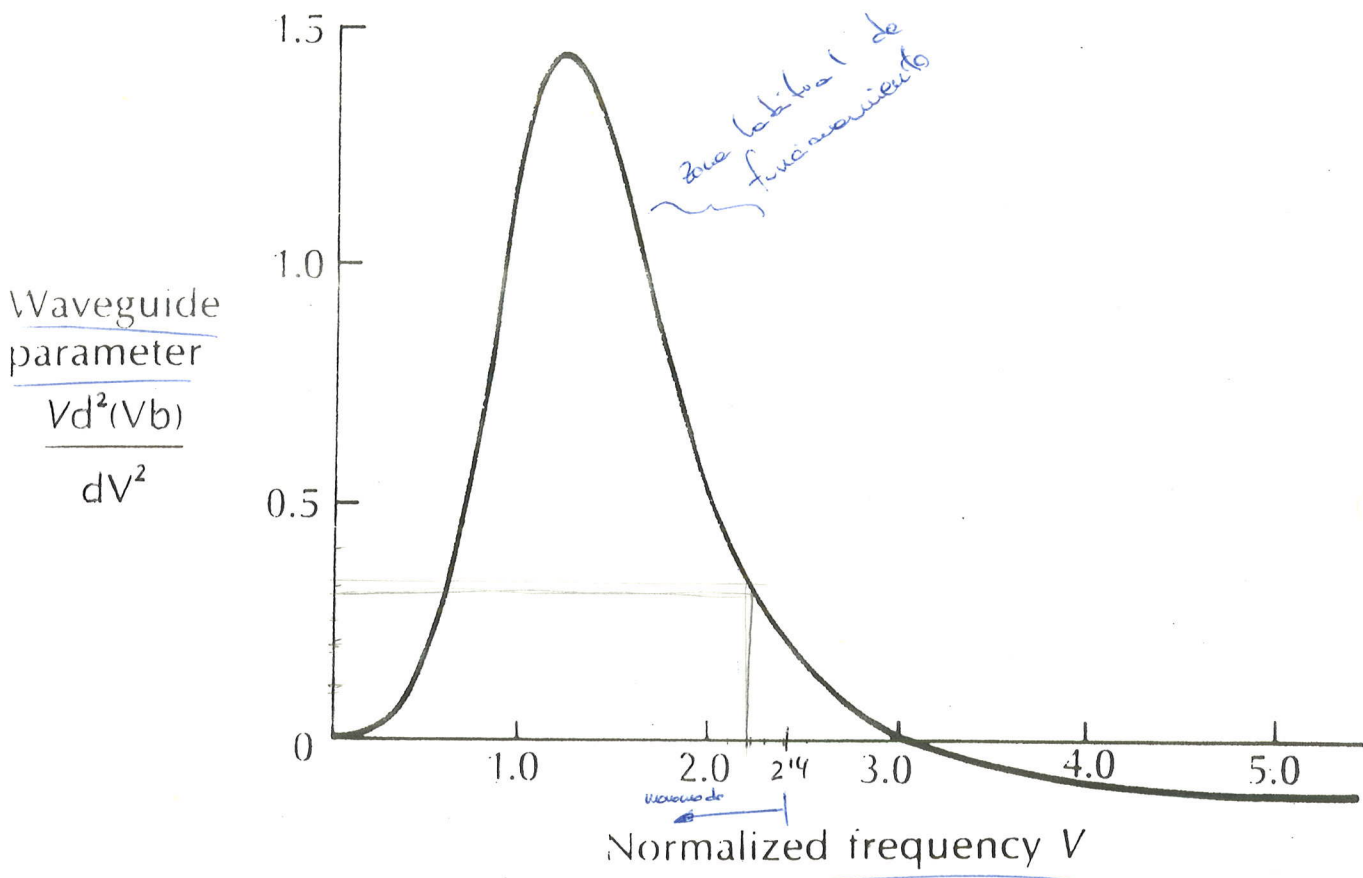
centro 2^e ventana

Material dispersion as a function of optical wavelength for pure silica and 13.5% GeO₂/86.5% SiO₂. (Reproduced with permission from Fleming.³⁸)

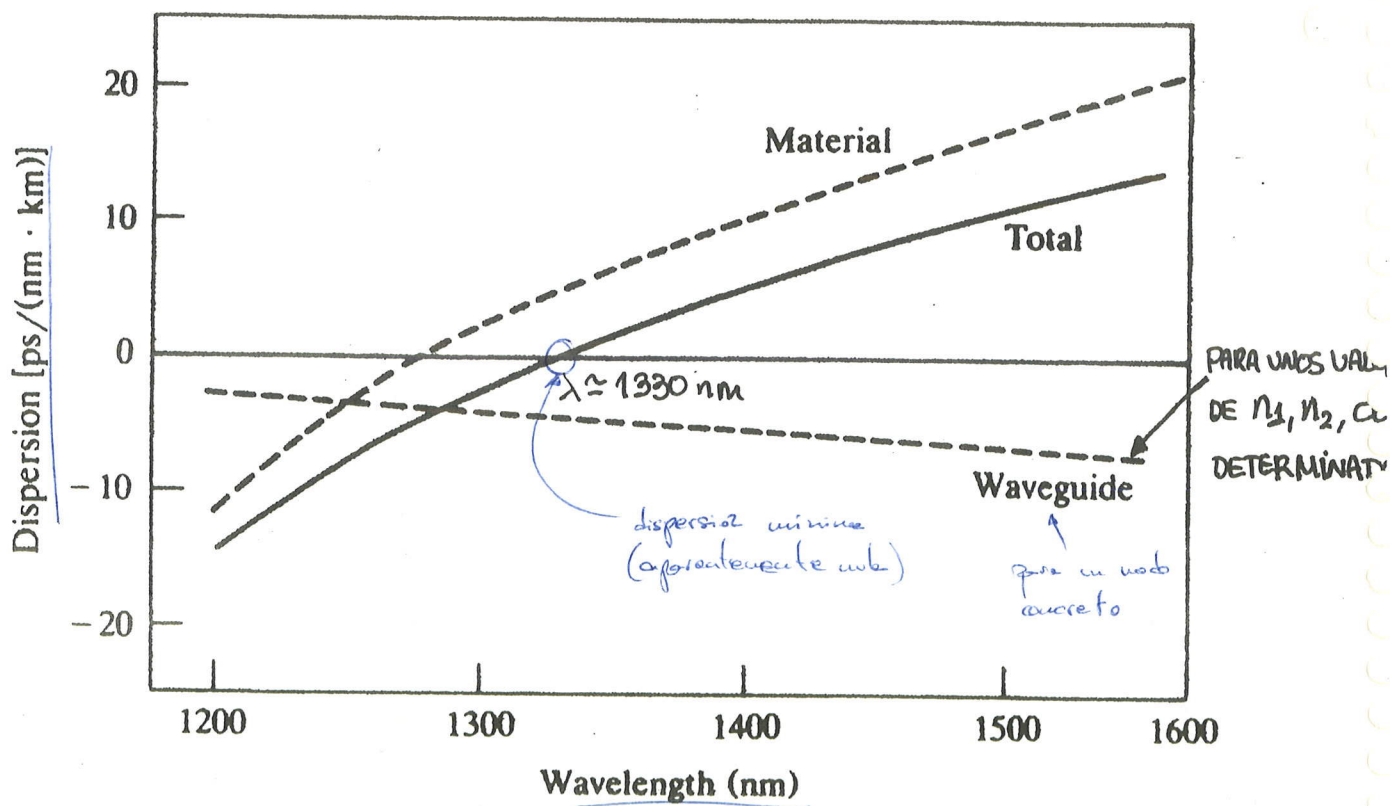
DISPERSIÓN DE GUIADO (MODO LP₀₁) :

$$D_w(\lambda) = -\frac{n_2 \Delta}{\lambda c} \sqrt{\frac{d^2(V_b)}{dV^2}}$$

esta es sólo para el fundamental

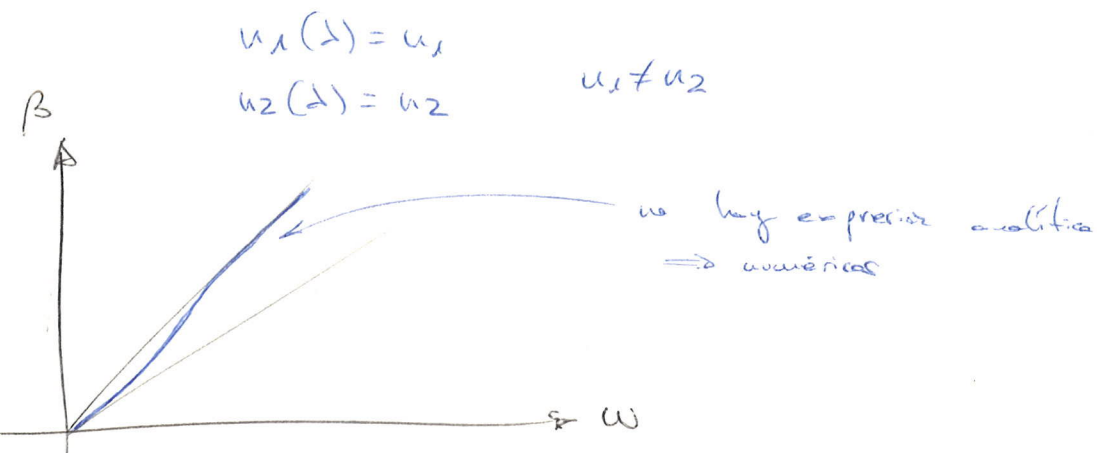


EFFECTO COMBINADO : $D_m(\lambda) + D_w(\lambda)$



GuiaDO:

Ahora ignoraremos la variación del índice de refracción con la frecuencia:



Se suele normalizar β en las gráficas =D b

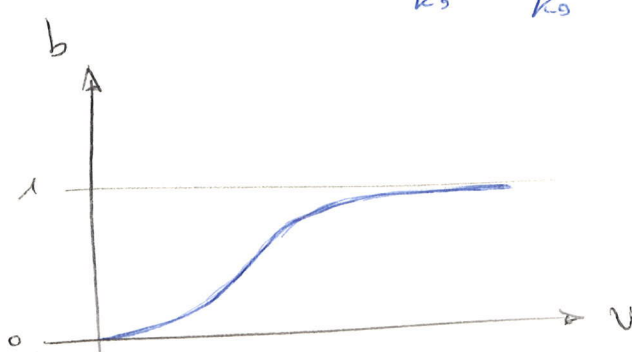
$$\boxed{b = \frac{(\beta/k_0)^2 - n_2^2}{n_1^2 - u_2^2}}$$

$$k_2 \leq \beta \leq k_1$$

$$\beta = k_2 \Rightarrow \frac{\beta}{k_0} = \frac{k_2}{k_0} = u_2 \Rightarrow b = 0$$

$$\beta = k_1 \Rightarrow \frac{\beta}{k_0} = \frac{k_1}{k_0} = u_1 \Rightarrow b = 1$$

$$\boxed{0 < b < 1}$$



ejercicio: obtener una expresión para Γ a partir de b

$$\rightarrow \boxed{D_w(\lambda) = -\frac{u_2 \Delta}{c \lambda} V \frac{d^2(Vb)}{dV^2}}$$

expresión que se suele usar para b al considerar de giro

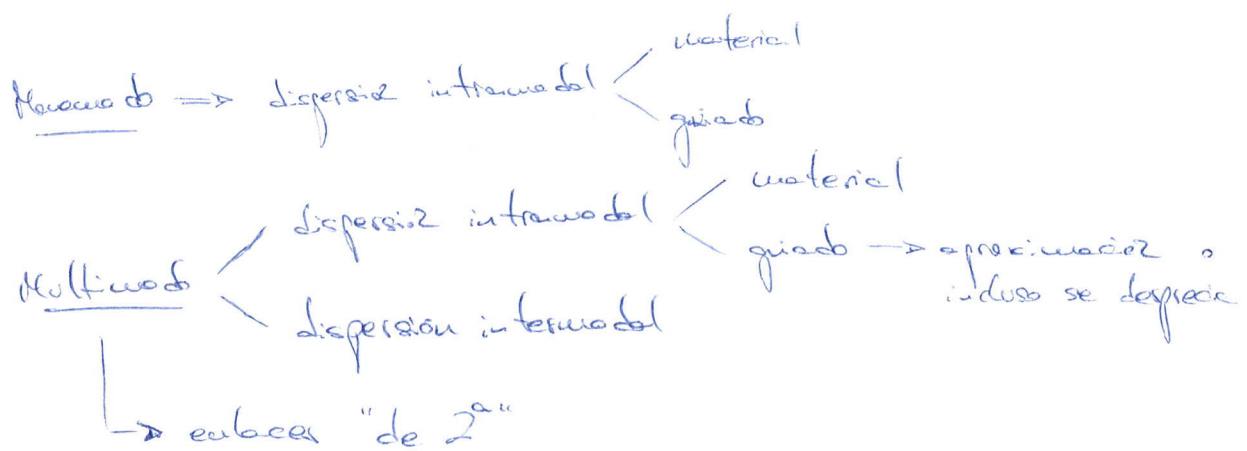
$$\boxed{V = \frac{2\pi}{\lambda} a \sqrt{n_1^2 - u_2^2}}$$

V = frecuencia normalizada

$$\text{En las curvas se suele ver } \frac{\sqrt{d^2(V_b)}}{dV^2}$$

La transparencia

- multivuelos \Rightarrow nubes de nubes
 \rightarrow muy complicado analizar la dispersión de todos a la vez



Ejercicio: fibra óptica $n_2 = 1.456$

ancho de la frente: 40nm

$$\Delta = 0.0027$$

$$\alpha = 5\mu\text{m}$$

$$\text{2º ventura: } \lambda_0 = 1550\text{ nm}$$

$$\left. \frac{d^2 u(\lambda)}{d\lambda^2} \right|_{\lambda_0} = -0.004 \mu\text{m}^{-2}$$

Calcular el anualamiento RMS de un pulso al recorrer $L = 10\text{km}$

$$\text{Solv: } \sigma \approx 6\text{ns}$$

Ejercicio:

$$u_2 = 1^456 \\ \Delta = 0'0027 \Rightarrow u_1 = \frac{u_2}{1-\Delta} = 1^4599 \\ = \frac{u_1 - u_2}{u_1}$$

$$\lambda_0 = 1550 \text{ nm}$$

$$S_{\text{fuente}} = 40 \text{ nm}$$

$$\left. \frac{d^2 u(\lambda)}{d\lambda^2} \right|_{\lambda_0} = -0'004 \mu\text{m}^{-2}$$

Desarrollamiento RHC tras $L = 10 \text{ km}$

$$\tau = D(\lambda_0) L \tau_\lambda$$

dispersión del material: $D_m(\lambda) = -\frac{\lambda}{c} \frac{d^2 u(\lambda)}{d\lambda^2} ; D_m(\lambda_0) = -\frac{\lambda_0}{c} \left. \frac{d^2 u(\lambda)}{d\lambda^2} \right|_{\lambda=\lambda_0} =$

$$= 2'067 \cdot 10^{-29} \text{ s/nm}^2$$

$$= 2067 \cdot 10^{-29} \text{ ps/nm km}$$

dispersión de grises: $D_w(\lambda) = -\frac{u_2 \Delta}{c \lambda} \sqrt{\frac{d^2(Vb)}{d\lambda^2}}$

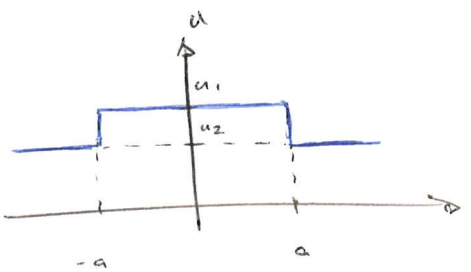
$$V = \frac{2\pi}{\lambda} a \sqrt{u_1^2 + u_2^2} = 21614 < 214 \Rightarrow \text{número de OK}$$

Misura la const. $\sqrt{\frac{d^2(Vb)}{d\lambda^2}} \approx 0'3 \Rightarrow D_w(\lambda) = -2'54 \text{ ps/nm km}$

$$D(\lambda_0) = D_m(\lambda_0) + D_w(\lambda_0) = 18113 \text{ ps/nm km}$$

$$\tau = 7125 \text{ ns}$$

- fibra óptica de alto índice AKA fibra óptica convencional
→ estender



- mínima dispersión: 1330 nm (2º ventana)
- mínima atenuación: 1550 nm (3º ventana)

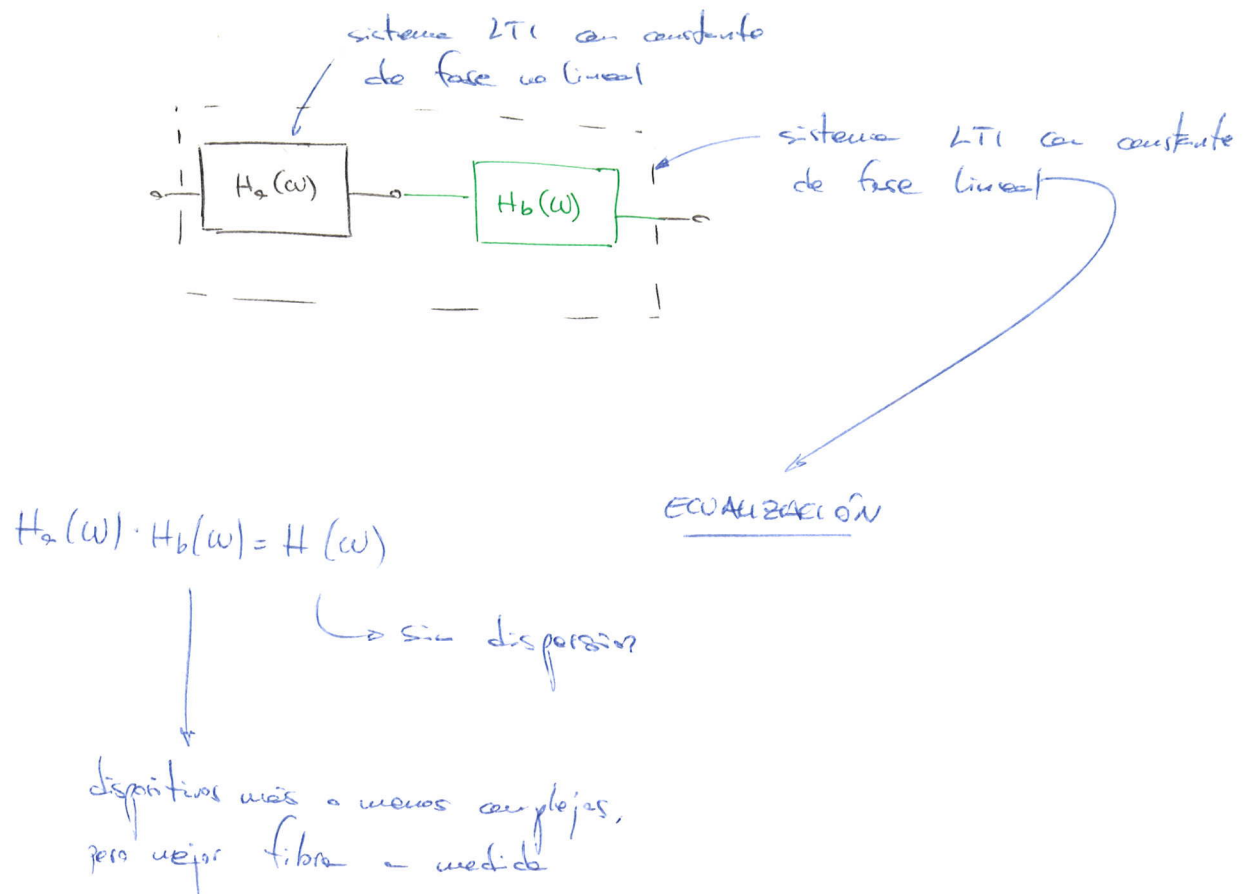
⇒ optimizar: hacer que la fibra tenga el mínimo de dispersión en la 3º ventana, o al revés
(mínimo de atenuación en la 2º)

Para ello, habría que modificar el material
Se puede mover la curva de dispersión modificando
el perfil del índice de refracción (transparencia
"Fibras manejadas de dispersión modificada")

→ 3 tipos de fibra:

- estándar optimizado: ITU G.652
- fibra de dispersión desplazada (DSF): ITU G.653
3ª generación
- fibra de dispersión aplastada (DFF)

- Actualizar redes ópticas, si se cambia todo la fibra, para
trabajar en la 3º ventana:
 - diseñar fibras ópticas a medida para aplicar la
técnica de compensación de dispersión



Haremos uso de la aproximación de 1º orden:

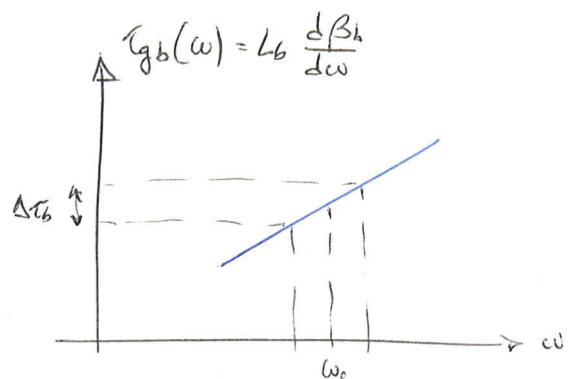
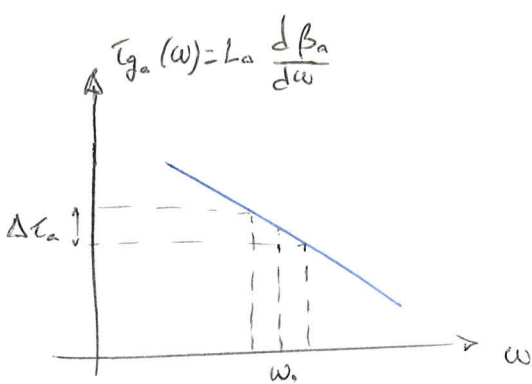
$$H_a(w) = e^{-j(\beta_{ao} + \beta_{a1}(w-w_0) + \frac{\beta_{a2}}{2}(w-w_0)^2)L_a}$$

$$\cdot e^{-j(\beta_{bo} + \beta_{b1}(w-w_0) + \frac{\beta_{b2}}{2}(w-w_0)^2)L_b}$$

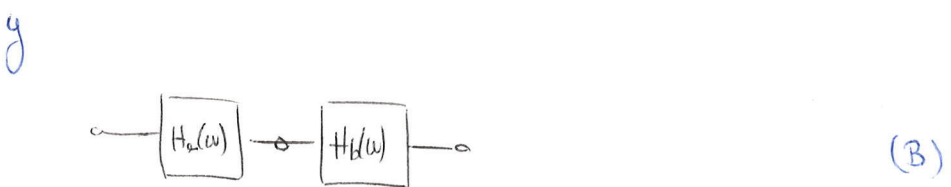
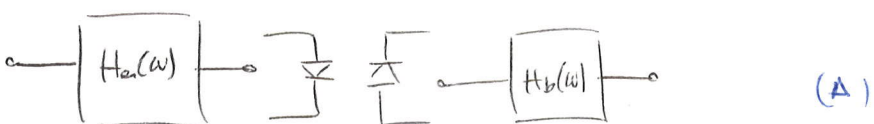
$$= e^{-j(\beta_{ao} + \beta_{a1}(w-w_0))L_a}$$

$$\Rightarrow \boxed{\frac{\beta_{a2}}{2}L_a + \frac{\beta_{b2}}{2}L_b = 0}$$

$$\Rightarrow \beta_{ao}\beta_{bo} < 0 \rightarrow \boxed{D_a L_a + D_b L_b = 0}$$

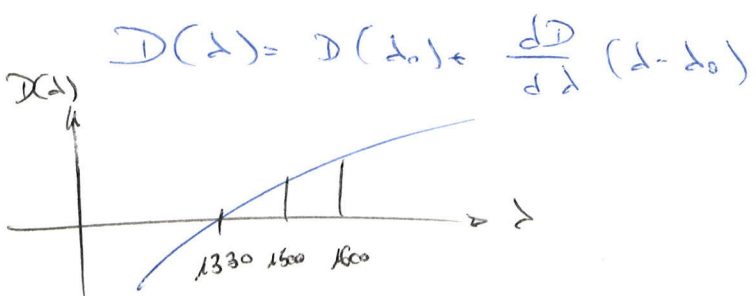


Diferencia entre



(A) → La compensación de la dispersión no sigue funcionando. Al llegar al LED se pierde la fase (detector de envolvente), y al pasar por el $H_b(\omega)$, se ensanchan los pulsos más tarde.

El fabricante suele expresar la dispersión en la 2º y 3º orden:



donde

- $D(\lambda_0) =$
- $\frac{dD(\lambda)}{d\lambda} = \text{pendiente de la dispersión}$

Velocidad típica: $\frac{dD(\lambda)}{d\lambda} = \alpha \lambda \frac{ps}{nm^2 \cdot Km}$

Ejemplo: fibra estandar (SF) en la 3^a ventana

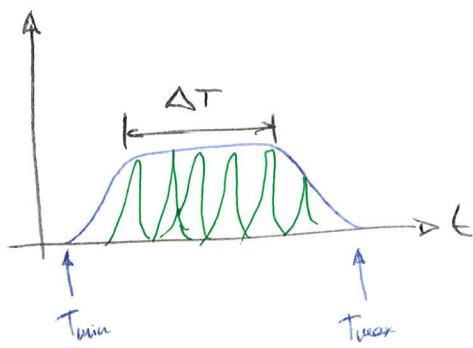
	$D(\lambda_0)$	$\frac{dD(\lambda)}{d\lambda}$
SF	16 ps/nm.Km	$\alpha \lambda$
Abran de compensación de dispersión (DCF)	-80	- $\alpha \lambda$

→ rebre alfa para que L_b sea pequeño

DCF → ITU G.655

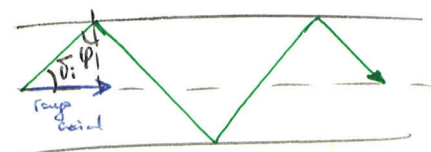
4.3.3 - DISPERSIÓN INTERMODAL

Queremos cuantificar el ensanchamiento temporal del pulso



el radio del núcleo es mayor que la longitud de onda ($50\mu m - 200\mu m$), por lo que se puede estudiar con la óptica geométrica

$$k_i = n_i \frac{\omega}{c}$$



$$\text{velocidad propagación componentes energéticas} = v_g = \frac{dw}{dp} = \frac{c}{n_i}$$

$$\Delta T = T_{\text{max}} - T_{\text{min}}$$

T : referido

$\downarrow \quad \searrow$

$T_{\text{max}} \Rightarrow \psi = \varphi_{\text{init}}$ says max

$$T_{\text{min}} = \frac{L}{(c/u_1)} = \frac{Lu_1}{c}$$

→ velocidad de propagación efectiva en dirección \hat{z}

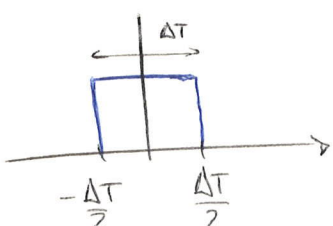
$$T_{\text{max}} = \frac{L}{\left(\frac{c}{u_1} \cos \delta_i\right)} = \frac{Lu_1^2}{cu_1 z}$$

$$\cos \delta_i = \operatorname{sen} \varphi_{\text{init}} = \frac{u_2}{u_1}$$

desaceleramiento absoluto: $\Delta T = \frac{Lu_1}{c} \left(\frac{u_1}{u_2} - 1 \right) = \frac{Lu_1 \Delta}{c}$

¿Aceleración eficaz?

Lo ejercicio propuesto:

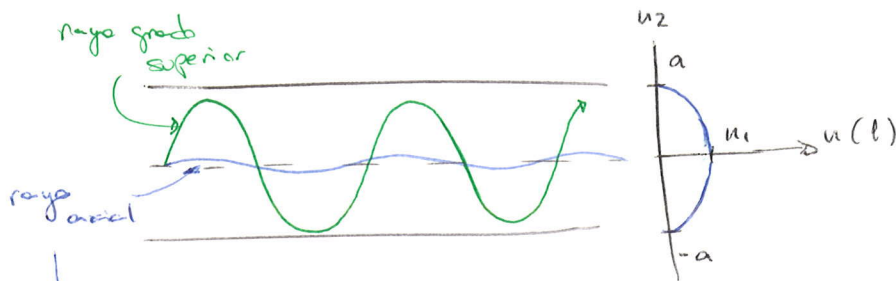


aplicar la fórmula de σ

Solucion: $\sigma = \frac{\Delta T}{2\sqrt{3}}$

$$\Delta T = \frac{L \cdot u_1 \Delta}{c} \Rightarrow \sigma_{\text{inter}} = \frac{L \cdot u_1 \cdot \Delta}{c \cdot 2\sqrt{3}}$$

4.3.4 - FIBRA ÓPTICA DE PERFIL DE ÍNDICE GRADUAL



es más eficiente que
el de salto de índice

s'interesa que pase por un medio con n mayor, así ve más lejos llevando menor trayecto

el otro rayo tiene una mayor trayectoria pero ve le más lejos para un medio con n menor

$$\sigma_{\text{inter}} = \frac{L n_1 \Delta^2}{20\sqrt{3}c}$$

$$\sigma_{\text{inter}} = \frac{\Delta}{\lambda_0} \tau_{\text{inter}}$$

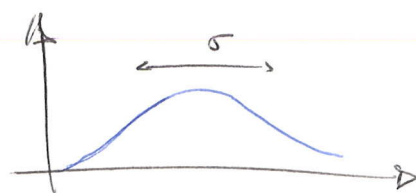
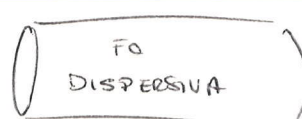
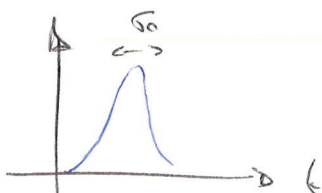
perfil parabólico idéntico

$\Delta^2 \ll 1$ = mejores de 3 órdenes de magnitud

En la práctica se mejoran 2 órdenes de magnitud como mucho

4.3.5 - DISPERSIÓN GLOBAL

Efecto combinado



• FO monomodo: $\sigma^2 = \sigma_0^2 + \left(L (D_m(\lambda_0) + D_w(\lambda_0)) \sigma_\lambda \right)^2$

• FO multimodo: $\sigma^2 = \sigma_0^2 + (L D_m(\lambda_0) \sigma_\lambda)^2 + \sigma_{\text{inter}}^2$

despreciable el efecto del grisado en la dispersión intramodo

Podemos poner unos criterios para que el efecto del ensendamiento no afecte mucho.

$$T_{bit} > 5 \mu s \rightarrow R_{max} \approx \frac{0.2}{5} (bps)$$

• figura de mérito: $(R \cdot L)_{max}$

muy malo $\rightarrow 100 \text{ Gbps} \cdot \text{Km}$

malo $\rightarrow 1 \text{ Gbps} \cdot \text{Km}$

$$\sigma^2 = \sigma_0^2 + \left(L Dm(\Delta\omega) \sigma_A \right)^2 + \left(\frac{L m_B}{c 2\sqrt{3}} \right)^2$$

interesa disminuir este término

$L \downarrow$

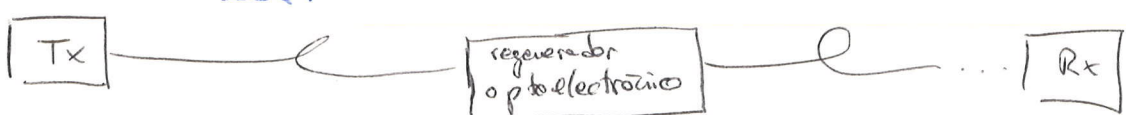
σ_0 fuente muy
cohérente
(implicante en
muy malo)

4.4- FIBRA ÓPTICA EN RÉGIMEN NO LINEAL

- propiedades del medio óptico independientes de la intensidad de campo
 - validez del principio de superposición
- $\rightarrow FO$ en régimen lineal

Aumentar + dispersión \rightarrow efectos lineales

hace 10 años o más:



no es muy práctico para grandes volúmenes de información \Rightarrow multiplexación

Lo que se hace es usar amplificadores ópticos \Rightarrow transmitir en grandes distancias en el dominio óptico

El efecto de la dispersión se propaga por todo el enlace
(antes se regeneraba la señal)



Amplificadores ópticos ruidosos \Rightarrow se incrementa la potencia transmitida
 \Rightarrow siguientes efectos no lineales \Rightarrow condicionan las capacidades
máximas (una vez eliminados los efectos lineales)

Interés: enlaces con elevado R/L (WAN, MAN)

- Origen de la no linealidad:

análisis electromagnético \rightarrow Ecu. Maxwell $\rightarrow \bar{D} = \epsilon \bar{E}$

$$\bar{D} = \epsilon_0 n^2(\omega) \bar{E}$$



supuestos que responde de forma lineal

$$\nabla^2 E - \frac{n^2}{c^2} \frac{\partial^2 E}{\partial t^2} = \frac{\chi}{c^2} \frac{\partial^2 (E^3)}{\partial t^2}$$

ecuación de cuadros no lineal



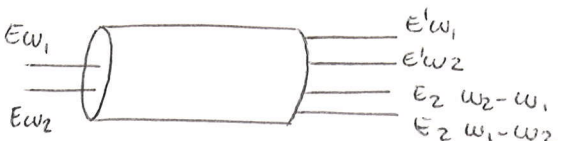
de bajas a altas frecuencias y productos
de intermodulación de 3º orden

\Rightarrow generador de productos de intermodulación si se opera cerca de la longitud de onda de dispersión nula

Efecto no lineal en la propagación:

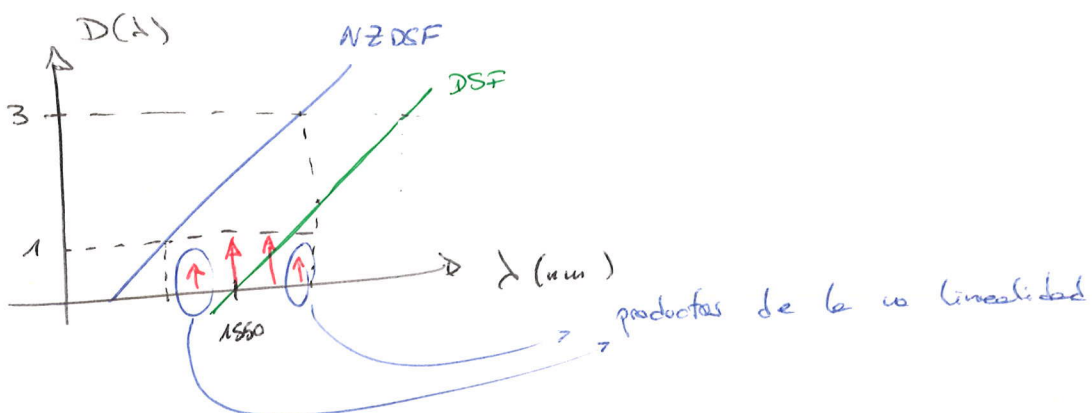


E_{ω_0} \rightarrow despreciable si $\beta(\omega)$ no lineal con la frecuencia



despreciables si $\beta(\omega)$ no lineal con la frecuencia

Para transmitir en la 3^{er} ventana varías canales es mejor no usar fibras lineales



Actualmente se usa la fibra NZDSF (Non Zero Dispersion-Shifted Fiber), porque no presenta el cero y la dispersión no es muy grande.

También se aplica en estas fibras la técnica de compensación

• longitud de no linealidad:

$$L_{NL} = \frac{1}{\gamma P_0}$$

si $L = L_{NL}$ \rightarrow el espectro del pulso se habrá escudado más de un 40%

deseable $L \ll L_{NL} \Rightarrow$ sistema no limitado por la no linealidad

En este caso:

$$\frac{\partial A(z, t)}{\partial z} = -j\gamma |A|^2 A \rightarrow A(z, t) = A(0, t) e^{j\phi_{NL}(z, t)}$$

$$\phi_{NL}(z, t) = -\gamma |A(0, t)|^2 z$$

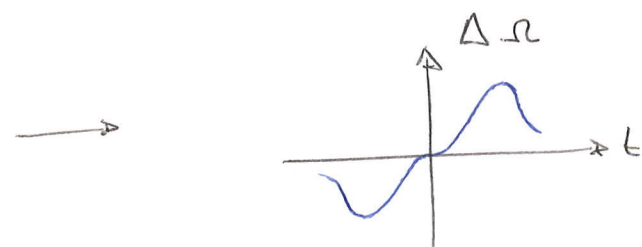
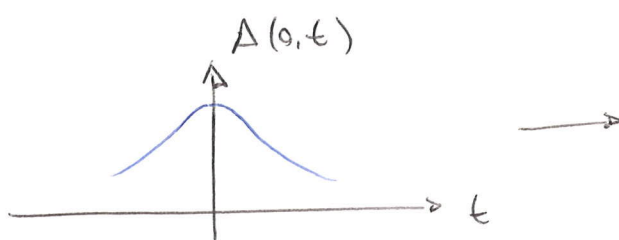


Perfil de intensidad invariante

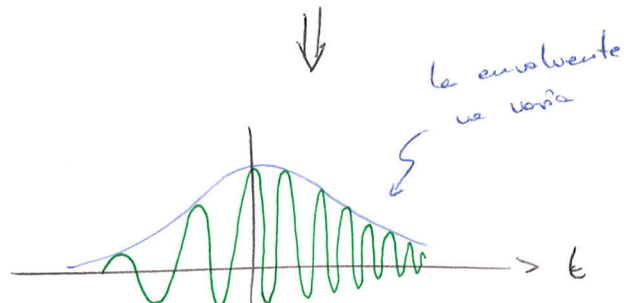
$$|A(z, t)| = |A(0, t)|$$

Variación de la frecuencia instantánea $\rightarrow \Delta \Omega$

$$\left. \Delta \Omega \right|_{\omega = \omega_0} = \frac{\partial \phi_{NL}}{\partial t} = -\gamma \frac{d |A(0, t)|^2}{dt} \cdot z$$

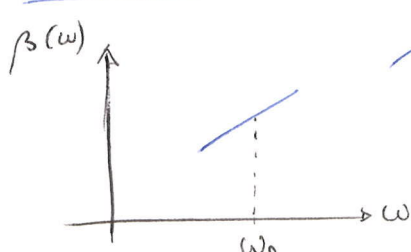


se mantiene el ancho del pulso y aparecen nuevas componentes frecuenciales \Rightarrow se escanda el espectro



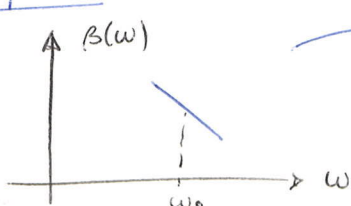
Efecto dispersive:

• Si $\beta_2 > 0$:



→ ritmo mayor de ensanchamiento temporal del pulso debido al efecto no lineal

• Si $\beta_2 < 0$:



→ el pulso se ensancha a menor ritmo o incluso se comprime

\Rightarrow ambos efectos tienden a compensarse

Cuando se compensan, se tiene un SOLITÓN

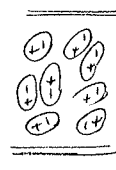
(recall) • distanza de no linealidad: distanza = punto de la curva los efectos no lineales en el cono (son importantes)

$$\left| L_{NL} = \frac{1}{\gamma P_0} \right| \quad \left[\frac{1}{(mW \cdot km)^{-1} \cdot mW} \right]$$

• longitud de dispersión:
$$\left| L_D = \frac{T_0^2}{(\beta_2)} \right|$$

T_0 = ancho temporal del pulso

diseños: apilados como diseño:



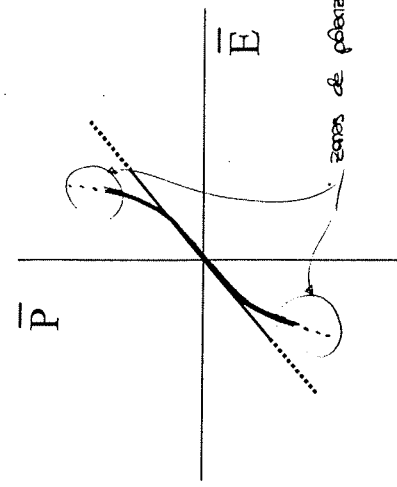
ORIGEN FÍSICO DE LA NO LINEALIDAD

La polarización de las moléculas de un dieléctrico ante un campo eléctrico no es lineal:

$$\bar{P} = \chi^{(1)} \bar{E} + \chi^{(3)} \bar{E}^3 + \bar{P}_L \quad \rightarrow \quad \bar{D} = \epsilon_0 \bar{E} + \bar{P}$$

$$n = n(\omega, \bar{E})$$

$$\beta = \beta(\omega, \bar{E})$$



¿CUÁNDO ES SIGNIFICATIVA?

Pulsos de potencia elevada & Efecto de dispersión despreciable

$$I_D = \frac{T_0^2}{|\beta_2|}$$

Longitud de dispersión:

$$L_{NL} = \frac{1}{\gamma P_0}$$

Longitud del ensayo a partir de la cual comienzan tener en cuenta efectos de la no linealidad
(ver transparencia 4.8)

¿QUÉ EFECTOS TIENE?

Sistema Monocanal:

- Efecto SPM (Self Phase Modulation) → ensancha espectro
- Generación de armónicos → caen fuera de banda

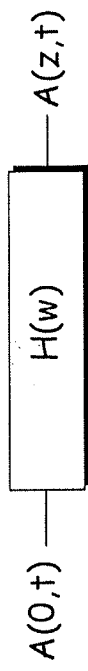
- Generación de Productos de Intemodulación o FWM (Four Wave Mixing)
- Sistema Multicanal (WDM): γ = cte. de Kerr.

⇒ Análisis modal

PROPAGACIÓN DE PULSOS EN RÉGIMEN LINEAL

Procedimiento
(2 pasos)

1. Análisis modal $\rightarrow H(w)$
2. Usar modelo LTI para estudiar la propagación.



PROPAGACIÓN DE PULSOS EN RÉGIMEN NO LINEAL

No es válido hablar de respuesta en frecuencia. El estudio de la propagación de un pulso no se puede hacer en dos pasos, sino en uno solo (no es posible hablar de respuesta en frecuencia!)

$$\text{Ec. onda no lineal: } \frac{\partial^2 \bar{E}_i}{\partial z^2} + \frac{\partial^2 \bar{E}_i}{\partial t^2} - \frac{n^2}{c^2} \frac{\partial^2 \bar{E}_i}{\partial t^2} = \frac{1}{c^2} \frac{\partial^2 P_{NL_i}}{\partial t^2}$$

equivalente de información

$$\text{Buscamos solución tipo: } E_{\omega_0} = \overline{A(z,t)} F(r,\phi) e^{j(\omega_0 t - \beta(\omega_0) z)} \quad \hat{x}$$

Mismo patrón del HE₁₁

$$\frac{\partial A(z,t)}{\partial z} + \beta_1 \frac{\partial A}{\partial t} - j \frac{\beta_2}{2} \frac{\partial^2 A}{\partial t^2} = -j\gamma |A|^2 A$$

Sólo no linealidad y $A(z,t)$

$$\frac{\partial A(z,t)}{\partial z} + \beta_1 \frac{\partial A}{\partial t} - j \frac{\beta_2}{2} \frac{\partial^2 A}{\partial t^2} = 0$$

$$\frac{\partial A(z,t)}{\partial z} = -j\gamma |A|^2 A$$

γ = constante de dispersión (dB/km)
 $|A(z,t)| = (A(0,t)) e^{j\phi(z,t)}$ → dispersión de fase
 evaluación en efecto SPW

$$A(z,t) = A(0,t) e^{j\phi(z,t)}$$

$\phi_{NL} = -\gamma (A(0,t))^2 z \rightarrow$ depende de la evaluación en efecto SPW

\Rightarrow constante de dispersión

R22

FIBRAS MONOMODO DE DISPERSIÓN MODIFICADA: SINTONIZACIÓN

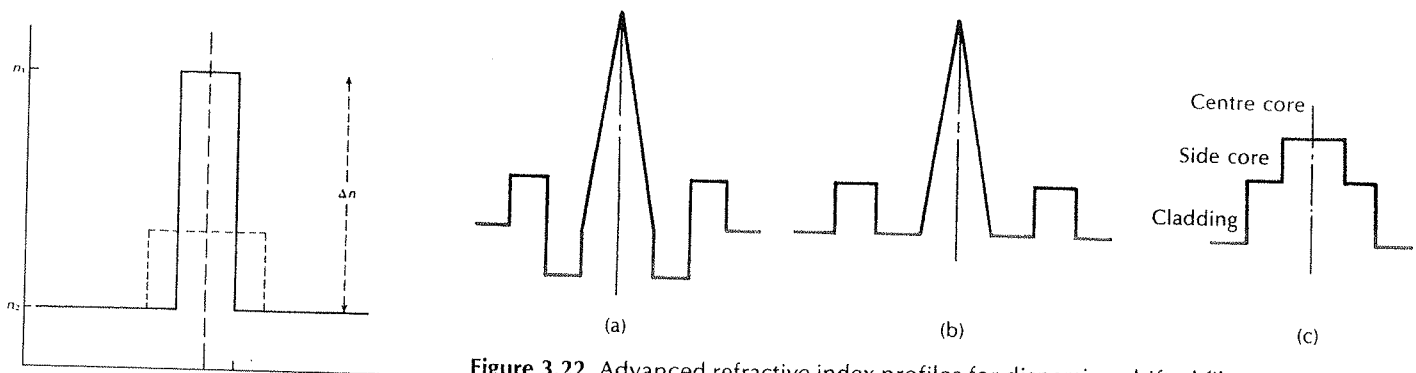


Figure 3.22 Advanced refractive index profiles for dispersion shifted fibers (a) triangular profile multiple index design; (b) segmented-core triangular profile design; (c) dual-shaped core design.

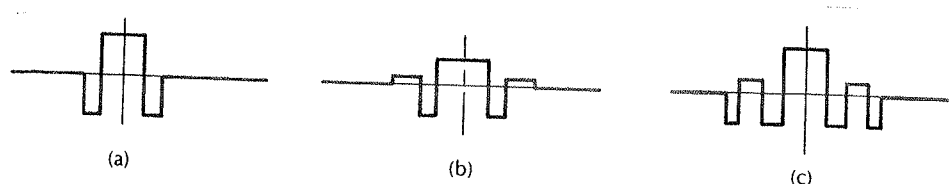
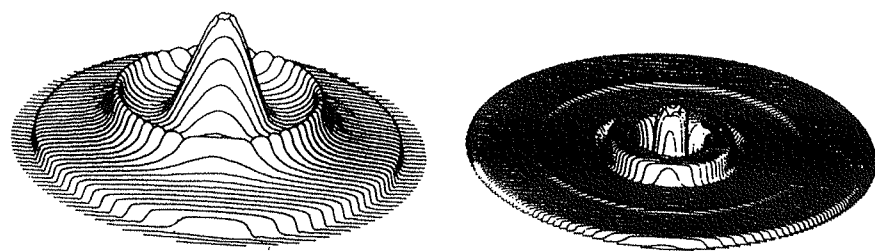
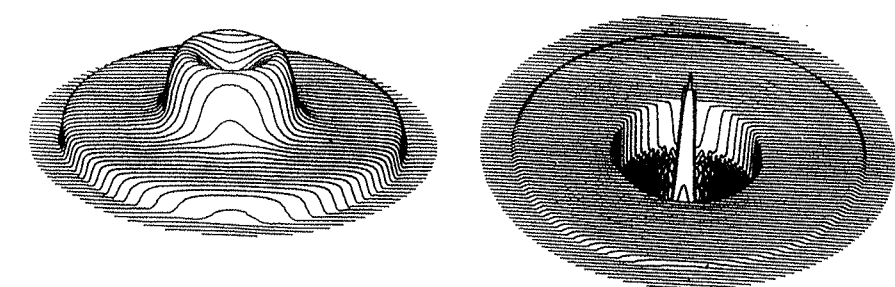
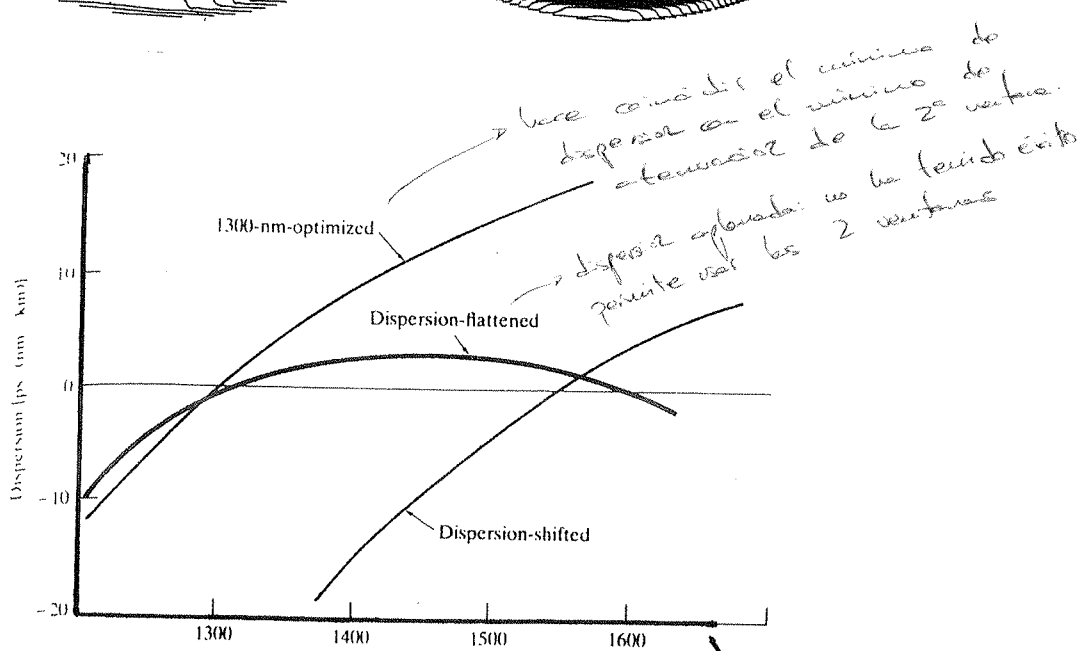


Figure 3.23 Dispersion flattened fiber refractive index profiles: (a) double clad fiber (W fiber); (b) triple clad fiber; (c) quadruple clad fiber.



D(λ)



2.4.3 Total R.M.S. Pulse Width

When an optical fiber can be treated as a linear system in the way we have just discussed, then equation (2.4.11) is true irrespective of the pulse shape. This may be shown as follows.† With reference to Fig. 2.17, we will show that any pulse $h_0(t)$ having an r.m.s. pulse width σ_0 which passes through a linear system whose impulse response $h_1(t)$ has an r.m.s. pulse width σ_1 will emerge as a pulse of r.m.s. width σ_2 , where

$$\sigma_2^2 = \sigma_0^2 + \sigma_1^2 \quad (2.4.27)$$

For convenience we shall assume $h_0(t)$ and $h_1(t)$ to be normalized, that is

$$\int_{-\infty}^{\infty} h_0(t) dt = 1 \quad (2.4.28)$$

$$\int_{-\infty}^{\infty} h_1(t) dt = 1 \quad (2.4.29)$$

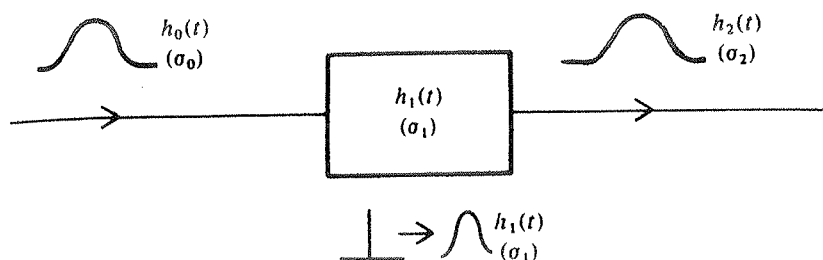


Fig. 2.17 R.M.S. pulse width.

and take the time zero to be centered on the mean time of $h_0(t)$, that is

$$\int_{-\infty}^{\infty} t h_0(t) dt = 0 \quad (2.4.30)$$

From the convolution integral for a linear network,

$$h_2(t) = \int_{-\infty}^{\infty} h_0(t - \tau) h_1(\tau) d\tau \quad (2.4.31)$$

Using the definition of r.m.s. pulse length,

$$\sigma_2^2 = \int_{t=-\infty}^{\infty} t^2 h_2(t) dt - \left[\int_{t=-\infty}^{\infty} t h_2(t) dt \right]^2 \quad (2.4.32)$$

We will evaluate the second term in equation (2.4.32) first by writing $x = t - \tau$, $dx = dt$, and using equation (2.4.31)

$$\begin{aligned} \int_{t=-\infty}^{\infty} t h_2(t) dt &= \int_{x=-\infty}^{\infty} (x + \tau) \left[\int_{\tau=-\infty}^{\infty} h_0(x) h_1(\tau) d\tau \right] dx \\ &= \int_{\tau=-\infty}^{\infty} h_1(\tau) \left[\int_{x=-\infty}^{\infty} (x + \tau) h_0(x) dx \right] d\tau \\ &= \int_{\tau=-\infty}^{\infty} h_1(\tau) [0 + \tau] d\tau = \int_{t=-\infty}^{\infty} t h_1(t) dt \end{aligned} \quad (2.4.33)$$

The first term in equation (2.4.32) may be evaluated using a similar substitution, namely $x = t - \tau$ so that $t^2 = x^2 + 2x\tau + \tau^2$, then

$$\int_{t=-\infty}^{\infty} t^2 h_2(t) dt = \int_{x=-\infty}^{\infty} (x^2 + 2x\tau + \tau^2) \left[\int_{\tau=-\infty}^{\infty} h_0(x) h_1(\tau) d\tau \right] dx$$

$$\begin{aligned}
&= \int_{\tau=-\infty}^{\infty} h_1(\tau) \left[\int_{x=-\infty}^{\infty} (x^2 + 2x\tau + \tau^2) h_0(x) dx \right] d\tau \\
&= \int_{\tau=-\infty}^{\infty} h_1(\tau) [\sigma_0^2 + 0 + \tau^2] d\tau \\
&= \sigma_0^2 + \int_{t=-\infty}^{\infty} t^2 h_1(t) dt
\end{aligned} \tag{2.4.34}$$

By analogy with equation (2.4.32) we may write

$$\sigma_1^2 = \int_{t=-\infty}^{\infty} t^2 h_1(t) dt - \left[\int_{t=-\infty}^{\infty} t h_1(t) dt \right]^2 \tag{2.4.35}$$

Thus, putting together equations (2.4.32–35) we obtain

$$\sigma_2^2 = \sigma_0^2 + \sigma_1^2 \tag{2.4.27}$$

This result is not dependent on the assumption of equation (2.4.30), which merely serves to simplify the algebra, and clearly it may be extended indefinitely if the output pulse is passed into further band-limiting systems. Thus, provided that material and multipath dispersion may be taken to be independent linear processes, it follows that equation (2.4.11) will apply for pulses of any physically realizable shape.

COMUNICACIONES ÓPTICAS 1. DPTO INGENIERÍA DE COMUNICACIONES
EJERCICIOS DISPERSIÓN Y NO LINEALIDAD

EJERCICIO 1

Se dispone de fuentes monocromáticas para realizar un enlace por fibra de N señales digitales en una determinada ventana. Se proponen dos estrategias:

OPCIÓN 1. Utilizar N fuentes moduladas por una sola señal cada una y realizar una multiplexación en el terreno óptico.

OPCIÓN 2. Multiplexar previamente las N señales en el terreno eléctrico y usar la señal resultante para modular una única fuente localizada en la λ central de la ventana.

Desde el punto de vista del efecto de la dispersión, ¿qué opción elegirías? Justifica tu respuesta.

Solución: Opción 1

EJERCICIO 2

Considérese un enlace digital por una fibra óptica en funcionamiento monomodo.

- Determinar una relación entre la anchura rms, σ_o , de los pulsos a la salida y la anchura rms, σ_i , de los pulsos de la señal de entrada asumiendo fuente óptica monocromática.
- Representar dicha función y justificar su comportamiento

Solución: $\sigma_o = \sqrt{\sigma_i^2 + k^2 / \sigma_i^2}$, donde 'k' es proporcional a la dispersión y a la longitud del enlace

EJERCICIO 3

Demostrar que la dispersión de primer orden definida como:

$$D(\lambda) = L^{-1} [d\tau_g(\lambda)/d\lambda]$$

se puede expresar en función de la derivada de la constante de fase respecto a la pulsación de la siguiente forma:

$$D(\lambda) = \frac{-2\pi c}{\lambda^2} \frac{d^2 \beta(\omega)}{d\omega^2}$$

Demostrar que la dispersión de segundo orden, definida como:

$$S(\lambda) = dD(\lambda)/d\lambda$$

se puede expresar en función de las derivadas de la constante de fase respecto a la pulsación, de la siguiente forma:

$$S(\lambda) = \frac{(2\pi c)^2}{\lambda^4} \frac{d^3\beta}{d\omega^3} + \frac{4\pi c}{\lambda^3} \frac{d^2\beta}{d\omega^2}$$

EJERCICIO 4

Se desea establecer un enlace óptico digital a 2 Mbps que opere a una longitud de onda de 800 nm. para lo cual se dispone de una fibra con las siguientes características:

$$n_1 = 1.5$$

$$\Delta = 0.01$$

$$a = 45 \mu\text{m}$$

$$\alpha = 2 \text{ dB/Km} \quad \text{a } 800 \text{ nm.}$$

$$\frac{d^2n(\lambda)}{d\lambda^2} = 0.045 \mu\text{m}^{-2} \quad \text{a } 800 \text{ nm}$$

La fuente óptica tiene una anchura espectral rms de 30 nm y acopla a la fibra 3 mW de potencia media. Sabiendo que sensibilidad del receptor es de -35 dBm y a las vista de los parámetros anteriores, determinar la distancia máxima entre repetidores.

Solución: 6.7 Km. determinada por la dispersión

EJERCICIO 5

Una forma alternativa para la compensación de la dispersión de un canal es hacer uso de filtros ópticos ecualizadores situados cada L kilómetros de fibra de dispersión β_2 . Si la función de transferencia de un determinado filtro óptico es:

$$H(\omega) = e^{-\frac{(1+jb)(\omega-\omega_o)^2}{\omega_f^2}}$$

Obtenga el valor y el significado de los parámetros b y ω_f si se pretende utilizar el filtro para minimizar el efecto dispersivo de una fibra de 50 km y $\beta_2 = -2.56$ y ofrecer a la vez un ancho de banda de 300 GHz.

Solución: $\omega_f = 1.6 \text{ Trad/s}$; $b = 158$

EJERCICIO 6

Considerar un enlace óptico terrestre para la transmisión de alta velocidad en régimen monomodo y en tercera ventana óptica ($\lambda_o = 1.55 \mu\text{m}$). El enlace está compuesto por 150 km de fibra estándar de silice con radio del núcleo $a = 4.2 \mu\text{m}$, índice de refracción de la cubierta $n_2 = 1.455$, diferencia relativa de índices $\Delta = 0.003$ y constante de Kerr $\gamma = 0.0037 \text{ mW}^{-1} \cdot \text{Km}^{-1}$.

La anchura espectral de la señal inyectada a la fibra viene dada por la siguiente expresión:

$$\sigma_\lambda(\text{nm}) = \begin{cases} 4/\sigma_i & \sigma_i \leq 40 \text{ ns} \\ 10^{-4} & \sigma_i \geq 40 \text{ ns} \end{cases}$$

siendo σ_i la anchura temporal rms de los pulsos transmitidos (medida en picosegundos).

Se pide:

- Calcular la dispersión D expresada en $\text{ps} \cdot \text{Km}^{-1} \cdot \text{nm}^{-1}$, sabiendo que la dispersión del material del silice es $20 \text{ ps} \cdot \text{Km}^{-1} \cdot \text{nm}^{-1}$ para $\lambda_0 = 1.55 \mu\text{m}$.
- Justificar de forma cualitativa la expresión dada para la anchura espectral de la señal transmitida.
- Despreciando los efectos de la propagación no lineal, y considerando que el sistema sólo está limitado por la dispersión, obtener una expresión para la velocidad binaria alcanzable en función de σ_i . ¿Cuál es el valor máximo alcanzable?
- Determinar la máxima potencia de pico (expresada en dBm) de los pulsos de entrada para que, considerando la longitud del enlace, la no linealidad pueda considerarse despreciable.

Nota 1 : $V \cdot d^2(V \cdot b)/dV^2 \approx 2/V^2$ para $1.75 \leq V \leq 2.25$

Solución: a) $D = 15 \text{ ps}/(\text{nm km})$. c) $R = 0.2 / \sqrt{\sigma_i^2 + (D \cdot L \cdot \sigma_\lambda)^2}$ donde σ_λ depende de σ_i como se indica en el enunciado. Para $\sigma_i = 95 \text{ ps}$, se obtiene $R_{\text{máx}} = 1.49 \text{ Gbps}$; d) La potencia de pico debe ser mucho menor que 2.55 dBm (1.8 mW)

0'57 uW

EJERCICIO 7

Los primeros enlaces submarinos instalados en pasada década utilizaban un régimen binario por canal de 2.5 Gbps. La fibra utilizada para la transmisión es una fibra de silice de dispersión desplazada (*Non-Zero Dispersion Shifted Fiber*, NZDSF) que presenta una dispersión de guiado de -22 ps/nm/km en $\lambda_0 = 1550 \text{ nm}$.

- Determinar la longitud máxima que se puede alcanzar en el enlace (sin utilizar repetidores). Dato: Anchura espectral de la señal $\sigma_\lambda = 0.089 \text{ nm}$.
- ¿En qué se modificaría el resultado anterior si sabemos que la anchura eficaz de los pulsos de entrada es de 10 ps?
- Estos enlaces hacían uso de fibra de dispersión convencional o standard con objeto de compensar totalmente el efecto dispersivo de la fibra NZDSF en $\lambda_0 = 1550 \text{ nm}$. Obtener la longitud de la fibra convencional necesaria si sabemos que es de silice y de dispersión de guiado de -2 ps/nm/km en $\lambda_0 = 1550 \text{ nm}$.

- d) Considerar ahora el efecto de las pérdidas de 0.2 dB/Km en ambas fibras. Si se pretende compensar totalmente la atenuación entre transmisor y receptor, determinar cuántos amplificadores EDFA de 20 dB de ganancia deberían emplearse. Representar de forma esquemática una posible estructura del sistema.
- e) Considerar a continuación que la dispersión $D(\lambda)$ se puede considerar lineal con λ con una pendiente (ó dispersión de segundo orden) de valor $dD(\lambda)/d\lambda=0.1 \text{ ps/nm}^2/\text{km}$ en $\lambda_0=1550 \text{ nm}$ para ambas fibras. Si se considera un espaciado entre canales de 0.4 nm (50 GHz), ¿cuál es el número máximo de canales de 2.5 Gbps que se pueden transmitir en el enlace atendiendo únicamente al efecto de la dispersión? ¿Sería crítico el efecto no lineal de FWM?

Solución: a) $L_1=450 \text{ km}$; b) $L_2=50 \text{ km}$. c) Son necesarios 5 EDFA's
d) 91 canales. No es crítico, pues no se transmite alrededor de la longitud de onda de β_2 nula.

EJERCICIO 8

Al transmitir N canales por una fibra en régimen no lineal, se generarán M productos de intermodulación (PIM) próximos a las bandas de señal a frecuencias f_{ijk} , donde:

$$M = \frac{1}{2} (N^3 - N^2) \quad f_{ijk} = f_i + f_j - f_k \quad i, j, k = 1..N \quad k \neq i, j$$

- a) Considérese la propagación WDM de tres canales a frecuencias ópticas f_1 , f_2 y f_3 ($f_1 < f_2 < f_3$). Obtenga el número de productos de intermodulación que interferirán con canales de señal si se considera que los canales están equiespaciados en Δf .
- b) De tener que ubicar los tres canales equiespaciados en una fibra de dispersión desplazada (DSF), ¿dónde lo haría?. Razona la respuesta.
- 1-Todos a longitudes de onda menor de la de dispersión nula
 - 2-Situar el canal central coincidiendo con la longitud de onda de dispersión nula
 - 3-Todos a longitudes de onda mayor de la de dispersión nula
- c) Una forma sencilla de reducir el efecto no lineal de FWM es la técnica de espaciado desigual de canales. Si la aplicación de esta técnica al sistema de tres canales consiste en situar los canales según las siguientes relaciones:

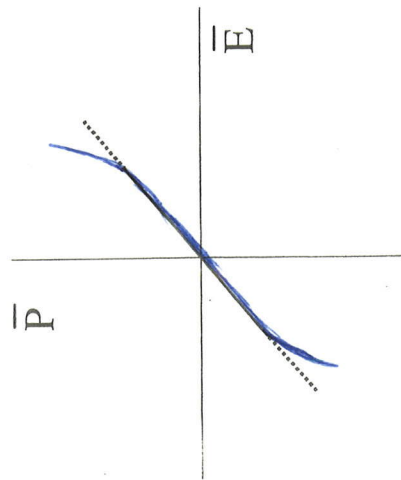
$$f_2 - f_1 = \Delta f \quad f_3 - f_2 = 2 \cdot \Delta f$$

Deduzca las ventajas e inconvenientes de la aplicación de ésta técnica.

Solución. a) $f_{223}, f_{312}, f_{221}$ b) Opción 3 por reducir efecto FWM y porque para $D>0$ se compensan (en parte) el efecto dispersivo y el no lineal SPM dentro de cada canal d) No caen PIM en canales de señal (no hay, por lo tanto, interferencias) aunque se produce degradación en el nivel de cada canal de señal

ORIGEN FÍSICO DE LA NO LINEALIDAD

La polarización de las moléculas de un dieléctrico ante un campo eléctrico no es lineal



$$\bar{P} = \chi^{(1)} \bar{E} + \chi^{(3)} \bar{E}^3 = \bar{P}_L + \bar{P}_{NL} \quad \rightarrow \quad \bar{D} = \epsilon_0 \bar{E} + \bar{P}$$

$$n = n(\omega, E) \quad \uparrow \quad \boxed{\beta = \beta(\omega, E)}$$

¿CUÁNDO ES SIGNIFICATIVA? Pulsos de potencia elevada

$$L_D = \frac{T_0^2}{|\beta_2|}$$

Longitud de dispersión:

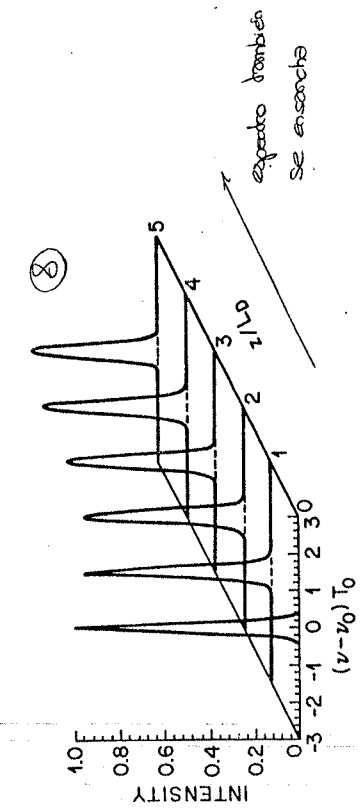
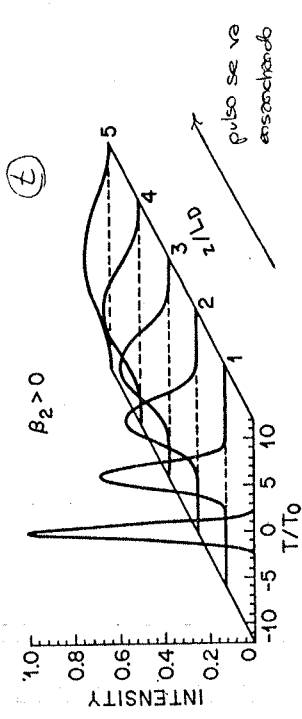
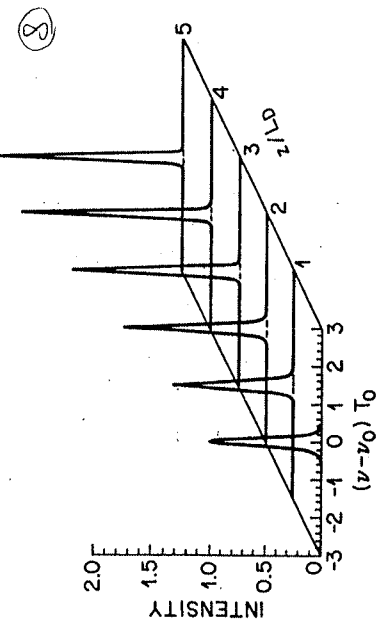
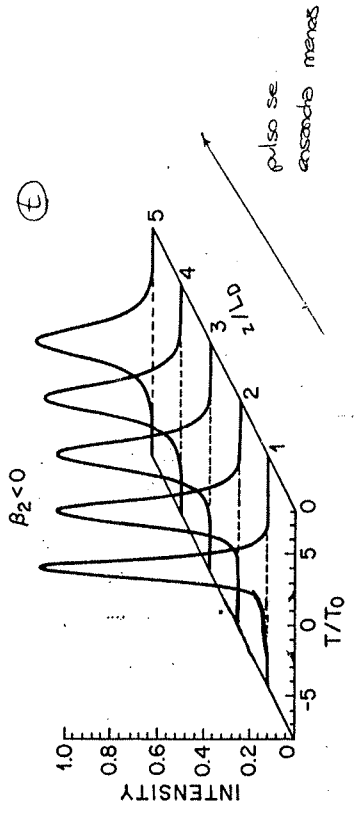
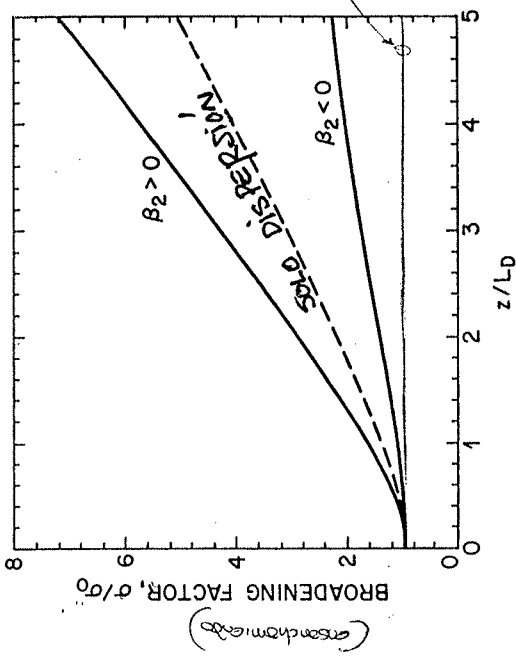
$$L_{NL} = \frac{1}{\gamma P_0}$$

Longitud de no linealidad:

¿QUÉ EFECTOS TIENE?

- Sistema Monocanal:
 - Efecto **SPM** (Self Phase Modulation) → ensancha espectro
 - Generación de armónicos → caen fuera de banda
- Sistema Multicanal (WDM): Generación de Productos de Intermodulación o **FWM** (Four Wave Mixing)

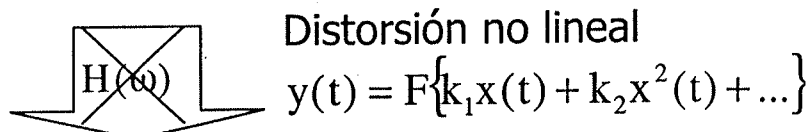
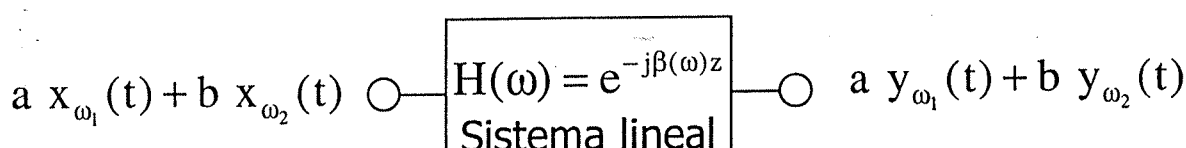
INTERACCIÓN SPIN Y BID



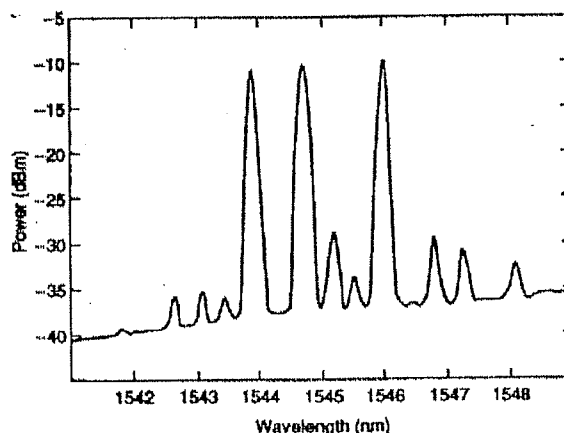
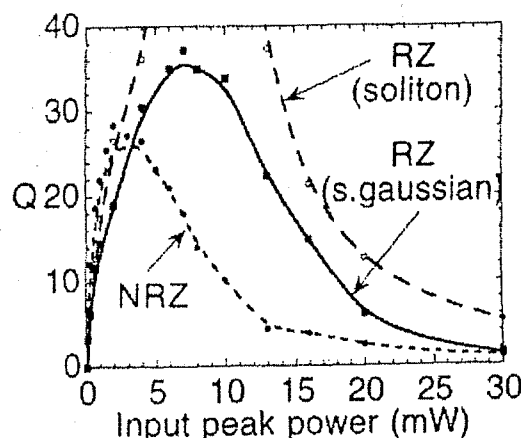
La Fibra Óptica en Régimen No Lineal

Fibra óptica en régimen lineal:

- Validez principio superposición
- Frecuencia haces luz no se alteran a su paso por el medio
- No hay interacción entre haces de luz
- Propiedades medio óptico independientes intensidad



Fibra óptica en régimen no lineal:



$$\uparrow Q \Rightarrow \downarrow P_e; Q=6 \Rightarrow P_e=10^{-9}$$

- No es valido principio superposición
- Frecuencia haces de luz varían en su propagación
- Haces de luz interactúan entre ellos
- Propiedades medio se modifican por intensos campos incidentes

La propagación sobre largas distancias de intensos pulsos de luz confinados en una estrecha sección de dieléctrico experimenta efectos no lineales

La Fibra Óptica en Régimen No Lineal

- Ecuación onda

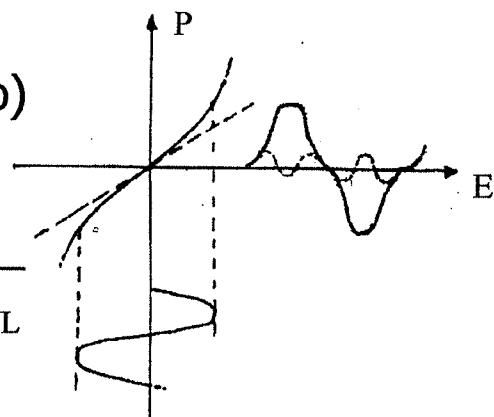
$$\nabla^2 \bar{E}_i - \mu_0 \frac{\partial^2 \bar{D}_i}{\partial t^2} = 0$$

- Relación constitutiva del medio dieléctrico (campo monocromático)

$$\bar{P} = \chi^{(1)}(\omega) \bar{E} + \chi^{(3)} \bar{E}^3 = \bar{P}_L + \bar{P}_{NL}$$

$$\bar{D} = \epsilon_0 \bar{E} + \epsilon_0 \bar{P} = \epsilon_0 n^2(\omega) \bar{E} + \epsilon_0 \bar{P}_{NL}$$

$$n^2(\omega) = 1 + \chi^{(1)}(\omega); P_{NL} = \chi^{(3)} E^3$$



➤ Ecuación de ondas no lineal

$$\nabla_t^2 \bar{E}_i + \frac{\partial^2 \bar{E}_i}{\partial z^2} - \frac{n^2}{c^2} \frac{\partial^2 \bar{E}_i}{\partial t^2} = \frac{1}{c^2} \frac{\partial^2 \bar{P}_{NLi}}{\partial t^2}$$

➤ Solución para fibra monomodo de salto de índice pequeño:

$$\bar{E} = \underline{F(r, \phi) A(z) e^{j(\omega t - \beta(\omega)z)}}$$

A) Ec. transversal de campo: $\beta(\omega)$, perfil gaussiano

$$\nabla_t^2 F + (k_i^2 - \beta^2(\omega)) F = 0 \quad F(r, \phi) = J_0(h_1 r) \cong e^{-\frac{r^2}{w_a^2}}$$

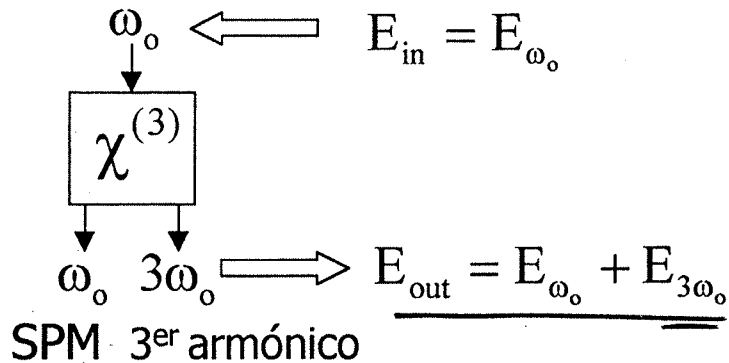
B) Ecuación de propagación del campo:

$$\frac{\partial^2 E}{\partial z^2} + \beta^2(\omega) E = \frac{1}{c^2} \frac{\partial^2 P_{NL}}{\partial t^2}$$

$$\text{Si } P_{NL} = 0 \Rightarrow \frac{\partial A}{\partial z} = 0$$

Efectos no lineales en la propagación monocanal

Término de polarización no lineal modifica propagación onda incidente (efecto SPM) y contribuye a generación de tercer armónico.



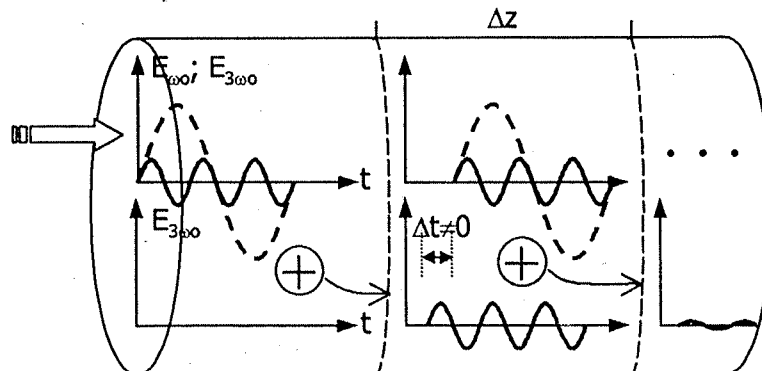
Generación 3^{er} armónico por polarización no lineal no es efectiva por:

- En banda visible/ultravioleta ($\lambda \approx 0.4-0.5 \mu\text{m}$) con elevada atenuación
- Sin concordancia de fase

Concepto de concordancia de fase (phase-matching)

Descripción cualitativa: Si discretizamos eje espacial (cuantos Δz), el retardo temporal entre la onda continuamente generada (por no linealidad) a $3\omega_0$ y la onda incidente ω_0 será:

$$\Delta t = z \left(\frac{\beta(3\omega_0)}{3\omega_0} - \frac{\beta(\omega_0)}{\omega_0} \right) = \frac{z}{3\omega_0} \Delta\beta; \text{ con } \Delta\beta = \beta(3\omega_0) - 3 \beta(\omega_0)$$



- Si $\Delta\beta=0$ (concordancia fase), hay interferencia constructiva y una eficiente transferencia de energía a la nueva onda.
- Sin concordancia de fase, se termina produciendo interferencia destructiva.

Efectos no lineales en la propagación monocanal

Efecto automodulación de fase (SPM, self-phase modulation)

Para la onda de entrada a ω_0 , la ecuación de ondas se reduce a:

$$\frac{\partial A}{\partial z} = -j\gamma|A|^2 A$$

que presenta como solución, si se considera pulsos cuasi-monocromáticos $A(z,t)$:

$$A(z,t) = A(0,t) e^{j\phi_{NL}(z,t)}; \quad \phi_{NL}(z,t) = -\gamma|A(0,t)|^2 z$$

- Valores típicos coeficiente de no linealidad $\gamma=0.002-0.003$ (mW·Km)
- Perfil intensidad invariante con propagación: $|A(z,t)|^2 = |A(0,t)|^2$
- Punto partida habitual: $\beta = \beta(\omega) + \gamma|A|^2 \implies n(\omega, |E|^2) = n(\omega) + n_{NL}|A|^2$
- Se agrupan coeficientes en "coeficiente de no linealidad" γ que caracteriza la no linealidad fibra :

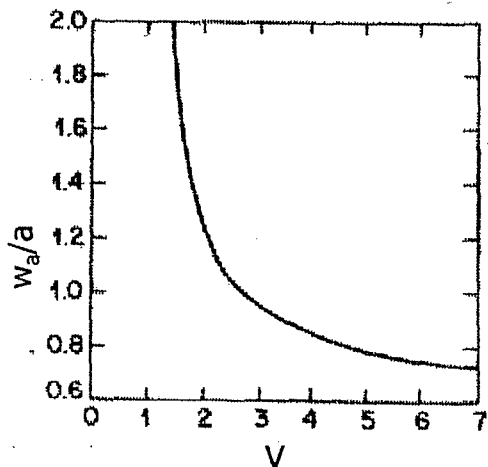
$$\gamma \propto \frac{\omega_0 \chi^{(3)}}{A_{eff}}$$

- Donde A_{eff} es la área transversal efectiva del perfil del modo fundamental LP_{01}

$$A_{eff} = \pi w_a^2 \quad F(r, \phi) \approx e^{-\frac{r^2}{w_a^2}}$$

- Incluye factor de escalado de forma que:

$$P(z) = |A(z)|^2 [\text{mW}]$$



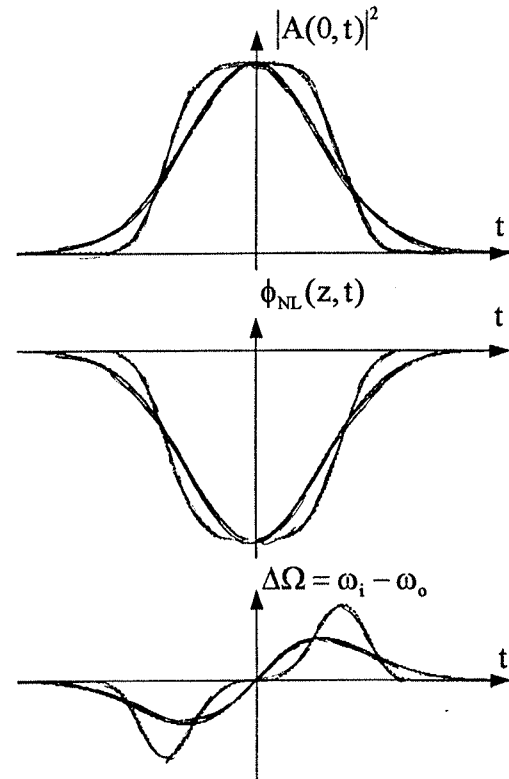
- Actualmente en desarrollo fibras LEAF (Large Effective Area Fiber)

Efectos no lineales en la propagación monocanal

Efecto automodulación de fase (continuación)

$$A(z, t) = A(0, t) e^{j\phi_{NL}(z, t)}; \quad \phi_{NL}(z, t) = -\gamma |A(0, t)|^2 z$$

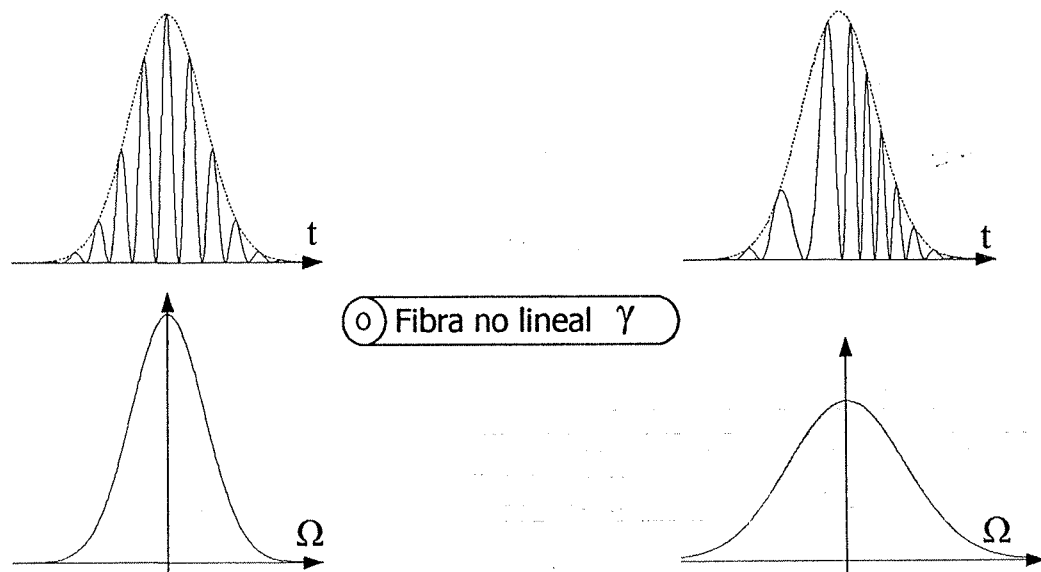
- Fase no lineal proporcional al perfil de intensidad (SPM) y proporcional distancia



- Variación frecuencia instantánea del pulso sobre portadora ("chirp" positivo)

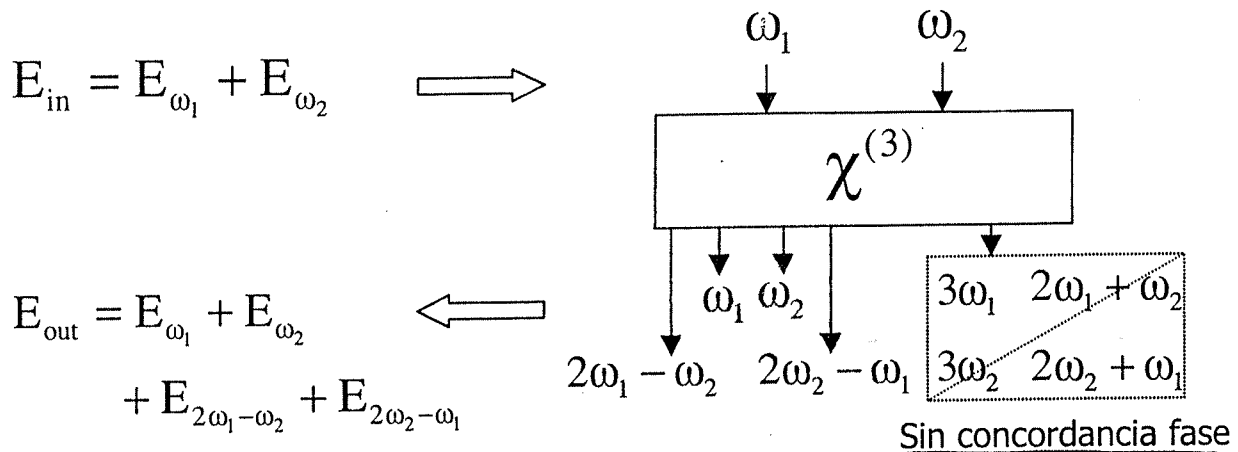
$$\Delta\Omega = \frac{\partial\phi_{NL}(z, t)}{\partial t} = -\gamma \frac{\partial |A(0, t)|^2}{\partial t} z$$

- Efecto dispersivo se agravará al interactuar con SPM si $\beta_2 > 0$ ó se reducirá si $\beta_2 < 0$



Efectos no lineales en la propagación multicanal

Veamos el caso más sencillo de la interacción no lineal en la propagación de dos canales que cumplen aproximación banda estrecha $BW_T \ll \omega_0$.



No se generarán de manera efectiva nuevas ondas a frecuencias...

$$\underline{\omega_3 = 2\omega_1 - \omega_2}$$

$$\underline{\omega_4 = 2\omega_2 - \omega_1}$$

si no hay concordancia de fase $\Delta\beta \neq 0$:

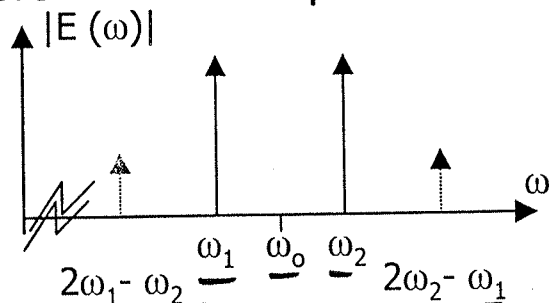
$$\underline{\Delta\beta = 2\beta(\omega_1) - \beta(\omega_2) - \beta(\omega_3)}$$

$$\underline{\Delta\beta = 2\beta(\omega_2) - \beta(\omega_1) - \beta(\omega_4)}$$

Si desarrollamos $\beta(\omega)$ según aproximación de primer orden:

$$\Delta\beta = \beta_2 (\omega_1 - \omega_2)^2$$

$$\text{Ej. } \beta_2 = 1 \text{ ps}^2/\text{Km}, \omega_1 - \omega_2 = 50 \text{ GHz} \\ \Rightarrow \Delta\beta = 0.1$$



- Este efecto, llamado FWM (Four Wave Mixing), limita transmisión WDM si se opera cerca de la longitud de dispersión nula (Ej. fibras DSF). Puede causar interferencias y pérdida de potencia.
- Solución actual es la compensación de dispersión.
- Efecto parecido se produce por bártidos señal-ruido en un sólo canal (inestabilidad modulación)

Ecuación de propagación de la envolvente óptica

Evolución de la envolvente temporal del pulso $A(z, t)$ según el mecanismo de degradación de la fibra óptica monomodo:

$$E_{\omega_0} = \hat{x}F(r, \phi)A(z, t)e^{j(\omega_0 t - \beta(\omega_0)z)}$$

- Dispersión (aprox. 1^{er} orden): $\frac{\partial A(z, t)}{\partial z} + \beta_1 \frac{\partial A}{\partial t} - j \frac{\beta_2}{2} \frac{\partial^2 A}{\partial t^2} = 0$
- No linealidad (SPM): $\frac{\partial A(z, t)}{\partial z} = -j\gamma|A|^2 A$

De la combinación de estos mecanismos, resulta la ec. propagación de la envolvente óptica en fibra dispersiva y no lineal:

$$\frac{\partial A(z, t)}{\partial z} + \beta_1 \frac{\partial A}{\partial t} - j \frac{\beta_2}{2} \frac{\partial^2 A}{\partial t^2} = -j\gamma|A|^2 A$$

Ecuación. NLS ó Ec. No lineal de Schrödinger

Para comprobar a partir de qué distancia actúan los efectos dispersivos y no lineales según los parámetros del pulso - P_o (potencia pico pulso), T_o (medida anchura pulso)- y de la fibra, procederemos a normalizar la ecuación NLS:

1.- Eje temporal móvil a la velocidad de grupo $T = t - z\beta'$

2.- Escalado temporal $\tau = \frac{T}{T_o}$ 3.- Escalado de amplitud $U(z, t) = \frac{A(z, t)}{\sqrt{P_o}}$

$$\frac{\partial U(z, \tau)}{\partial z} - \frac{j}{2L_D} \text{sign}(\beta_2) \frac{\partial^2 U}{\partial \tau^2} = -j \frac{|U|^2 U}{L_{NL}}$$

Dispersión

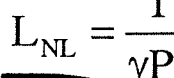
No linealidad

Escalas
(pondrán efecto dispersivos y
no lineales en la propagación)

$$\left\{ \begin{array}{l} L_D = \frac{T_o}{|\beta_2|} \quad \text{Longitud dispersión} \\ L_{NL} = \frac{1}{\gamma P_o} \quad \text{Longitud no linealidad} \end{array} \right.$$

Ecuación de propagación de la envolvente óptica

Tres escalas de interés para las distancias:

$\left\{ \begin{array}{l} \text{Longitud dispersión} \\ \text{Longitud no linealidad} \\ \text{Longitud del tramo óptico} \end{array} \right.$	$L_D = \frac{T_o^2}{ \beta_2 }$  $L_{NL} = \frac{1}{\gamma P_o}$  L
--	---

Cuatro situaciones según la relación entre ellas:

1.- $L \ll L_{NL}, L_D$ Ni la dispersión ni la no-linealidad limitan propagación

$$\frac{\partial U(z, \tau)}{\partial z} \approx 0 \Rightarrow U(z, \tau) = U(0, \tau) \quad \text{Sin distorsión}$$

Ej. $\lambda=1.55 \mu\text{m} \Rightarrow$ Fibra convencional $|\beta_2|=20 \text{ ps}^2/\text{km}$, $\gamma=0.002 (\text{mW} \cdot \text{Km})^{-1}$

Si $L \leq 50 \text{ km} \Rightarrow L_D, L_{NL} \geq 500 \text{ Km} \rightarrow T_o \geq 100 \text{ ps}, P_o \leq 1 \text{ mW}$

2.- $L_D \leq L \ll L_{NL}$ Evolución pulsos limitada por dispersión

3.- $L_{NL} \leq L \ll L_D$ Evolución pulsos limitada por no linealidad

4.- $L \geq L_D, L_{NL}$ Evolución pulsos condicionado por interacción efectos dispersivos y no lineales

- SPM genera nuevas componentes frecuenciales: bajas en el frontal del pulso y altas en la cola

- Dispersión $\left\{ \begin{array}{l} \beta_2 > 0 \text{ Frecuencias bajas viajan más rápidas que las altas} \\ \quad \text{Pulso se ensancha temporalmente a mayor ritmo} \\ \beta_2 < 0 \text{ Pulso se ensancha temporalmente a menor ritmo al} \\ \quad \text{compensarse en parte ambos efectos} \end{array} \right.$

¿Es posible compensación perfecta efectos dispersivos y no lineales?

Solitón

Si $\beta_2 < 0$, la ecuación de la envolvente óptica admite una solución de pulso que se propaga sin distorsión -solitón- como resultado de la total compensación de los efectos dispersivos y no lineales.

Requiere:

- Efectos dispersivos/no-lineales actúen en la misma escala

$$\underline{L_{NL} = L_D} \rightarrow \frac{P_o T_o^2 \gamma}{|\beta_2|} = 1$$

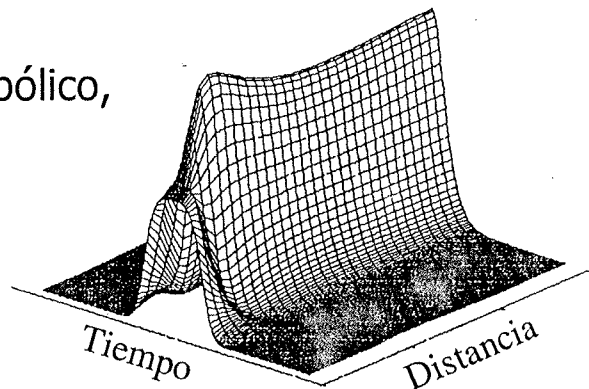
- Perfil de pulso secante hiperbólico

Efectivamente si:

$$P_o T_o^2 = \gamma |\beta_2|$$

$$A_o \operatorname{sech}\left(\frac{t}{T_o}\right) \rightarrow \boxed{\begin{array}{c} \text{Ec.NLS (sin pérdidas)} \\ \text{---} \\ \text{---} \end{array}} \rightarrow |A(z, t)| = A_o \operatorname{sech}\left(\frac{t - z\beta_1}{T_o}\right)$$

- Perfil de intensidad invariante con z
- Si pulso de entrada no es secante hiperbólico, evoluciona al perfil solución si tiene la suficiente energía $P_o T_o^2 \geq \gamma |\beta_2|$
- Propagación transparente bajo transmisión WDM
- Resuelve problema dispersión/no-linealidad, pero no atenuación
Requiere distancia corta entre amplificadores z_a (efecto perturbativo)



$$\underline{z_a \ll L_D = L_{NL}}$$

Efectos de la amplificación óptica limitan eficiencia sistemas solitónicos

MAPA DOB: separación de unas 30km, vs ~100km de longitudes normales con dispersión

RELACIONES TEMA 4

Ejercicio 4

$$\begin{aligned}
 R &= 2 \text{ Mbps} \\
 \lambda &= 800 \text{ nm} \\
 \text{fuente} &\left\{ \begin{array}{l} \sigma_s = 30 \text{ nm} \\ P_F = 3 \text{ mW} \end{array} \right. \text{ (ingrediente en la fibra)} \\
 \text{fibra} &\left\{ \begin{array}{l} u_i = 1.5 \\ \Delta = 0.61 \\ a = 45 \mu\text{m} \\ \alpha = 2 \text{ dB/km} \approx 800 \text{ nm} \\ \frac{d^2 u(\lambda)}{d \lambda^2} = 9.045 \mu\text{m}^{-2} \approx 800 \text{ nm} \end{array} \right.
 \end{aligned}$$

$$P_{R_{\min}} = -35 \text{ dBm} = \text{sensibilidad}$$

¿distancia máxima entre repetidores?

• efecto de la atenuación:

$$\begin{aligned}
 P_F &= 3 \text{ mW} = 4.77 \text{ dBm} \\
 P_F - P_{R_{\min}} &= 39.77 \text{ dBm} \Rightarrow \frac{P_F - P_{R_{\min}}}{\alpha} = 19.89 \text{ km}
 \end{aligned}$$

• efecto de la dispersión:

$$V = \frac{2\pi f}{c_0} \sqrt{u_i^2 \Delta} \approx 24.79 > 2^{14} \Rightarrow \text{un límite de}$$

$$\sigma^2 = (\text{Dm} \cdot \sigma_s)^2 + \left(\frac{u_i \Delta}{2\sqrt{3} c_0} \right)^2$$

$$T_{bit} > 5\sigma_{max} \quad R = \frac{0.12}{\sigma_{max}}$$

↙

$$\sigma_{max} = 100 \text{ ns}$$

$$\left(\frac{\sigma}{L} \right)^2 = (\text{Dm} \cdot \sigma_s)^2 + \left(\frac{u_i \Delta}{2\sqrt{3} c_0} \right)^2 = \left(-\frac{\lambda}{c_0} \frac{d^2 u(\lambda)}{d \lambda^2} \right)^2 \sigma_s^2 + \left(\frac{u_i \Delta}{2\sqrt{3} c_0} \right)^2$$

$$\boxed{L = 67 \text{ km}}$$

COMUNICACIONES ÓPTICAS 1. DPTO INGENIERÍA DE COMUNICACIONES
EJERCICIOS DISPERSIÓN Y NO LINEALIDAD

(orden sugerido: 4, 2, 1, 3, 6, 7) + 5, 8, 9 op.

✓ EJERCICIO 1

Se dispone de fuentes monocromáticas para realizar un enlace por fibra de N señales digitales en una determinada ventana. Se proponen dos estrategias:

OPCIÓN 1. Utilizar N fuentes moduladas por una sola señal cada una y realizar una multiplexación en el terreno óptico.

OPCIÓN 2. Multiplexar previamente las N señales en el terreno eléctrico y usar la señal resultante para modular una única fuente localizada en la λ central de la ventana.

Desde el punto de vista del efecto de la dispersión, ¿qué opción elegirías? Justifica tu respuesta.

Solución: Opción 1

✓ + EJERCICIO 2

Considérese un enlace digital por una fibra óptica en funcionamiento monomodo.

- a) Determinar una relación entre la anchura rms, σ_o , de los pulsos a la salida y la anchura rms, σ_i , de los pulsos de la señal de entrada asumiendo fuente óptica monocromática.
- b) Representar dicha función y justificar su comportamiento

Solución: $\sigma_o = \sqrt{\sigma_i^2 + k^2 / \sigma_i^2}$, donde 'k' es proporcional a la dispersión y a la longitud de el enlace

✓ x EJERCICIO 3

Demostrar que la dispersión de primer orden definida como:

$$D(\lambda) = L^{-1} [d\tau_g(\lambda)/d\lambda]$$

se puede expresar en función de la derivada de la constante de fase respecto a la pulsación de la siguiente forma:

$$D(\lambda) = \frac{-2\pi c}{\lambda^2} \frac{d^2 \beta(\omega)}{d\omega^2}$$

Demostrar que la dispersión de segundo orden, definida como:

$$S(\lambda) = dD(\lambda)/d\lambda$$

se puede expresar en función de las derivadas de la constante de fase respecto a la pulsación, de la siguiente forma:

$$S(\lambda) = \frac{(2\pi c)^2}{\lambda^4} \frac{d^3\beta}{d\omega^3} + \frac{4\pi c}{\lambda^3} \frac{d^2\beta}{d\omega^2}$$

✓ EJERCICIO 4

Use desea establecer un enlace óptico digital a 2 Mbps que opere a una longitud de onda de 800 nm. para lo cual se dispone de una fibra con las siguientes características:

$$n_1 = 1.5$$

$$\Delta = 0.01$$

$$a = 45 \mu\text{m}$$

$$\alpha = 2 \text{ dB/Km} \quad \text{a } 800 \text{ nm.}$$

$$\frac{d^2n(\lambda)}{d\lambda^2} = 0.045 \mu\text{m}^{-2} \quad \text{a } 800 \text{ nm}$$

La fuente óptica tiene una anchura espectral rms de 30 nm y acopla a la fibra 3 mW de potencia media. Sabiendo que sensibilidad del receptor es de -35 dBm y a las vista de los parámetros anteriores, determinar la distancia máxima entre repetidores.

Solución: 6.7 Km. determinada por la dispersión

✓ EJERCICIO 5

Una forma alternativa para la compensación de la dispersión de un canal es hacer uso de filtros ópticos ecualizadores situados cada L kilómetros de fibra de dispersión β_2 . Si la función de transferencia de un determinado filtro óptico es:

$$H(\omega) = e^{-\frac{(1+jb)(\omega-\omega_f)^2}{\omega_f^2}}$$

Obtenga el valor y el significado de los parámetros b y ω_f si se pretende utilizar el filtro para minimizar el efecto dispersivo de una fibra de 50 km y $\beta_2 = -2.56$ y ofrecer a la vez un ancho de banda de 300 GHz.

Solución: $\omega_f = 1.67 \text{ rad/s}$; $b = 158$

✓ EJERCICIO 6

Considerar un enlace óptico terrestre para la transmisión de alta velocidad en régimen monomodo y en tercera ventana óptica ($\lambda_o = 1.55 \mu\text{m}$). Cada vano está compuesto por 150 km de fibra estándar de silice con radio del núcleo $a = 4.2 \mu\text{m}$, índice de refracción de la cubierta $n_2 = 1.455$, diferencia relativa de índices $\Delta = 0.003$ y constante de Kerr $\gamma = 0.0037 \text{ mW}^{-1} \cdot \text{Km}^{-1}$.

La anchura espectral de la señal inyectada a la fibra viene dada por la siguiente expresión:

$$\sigma_\lambda(\text{nm}) = \frac{4}{\sigma_i} \quad \begin{cases} \sigma_i \leq 40 \text{ ns} \\ = 10^{-4} \quad \sigma_i \geq 40 \text{ ns} \end{cases}$$

σ_i en ps

siendo σ_i la anchura temporal rms de los pulsos transmitidos (medida en picosegundos).

Se pide:

- Calcular la dispersión D expresada en $\text{ps} \cdot \text{Km}^{-1} \cdot \text{nm}^{-1}$, sabiendo que la dispersión del material del sílice es $20 \text{ ps} \cdot \text{Km}^{-1} \cdot \text{nm}^{-1}$ para $\lambda_0 = 1.55 \mu\text{m}$.
- Justificar de forma cualitativa la expresión dada para la anchura espectral de la señal transmitida.
- Despreciando los efectos de la propagación no lineal, y considerando que el sistema sólo está limitado por la dispersión, obtener una expresión para la velocidad binaria alcanzable en función de σ_i . ¿Cuál es el valor máximo alcanzable?
- Para la velocidad de transmisión obtenida en el apartado anterior, determinar la potencia de pico máxima (expresada en dBm) de los pulsos de entrada para que la no linealidad siga siendo despreciable frente a la dispersión.

Nota 1 : $V \cdot d^2(V \cdot b) / dV^2 \approx 2/V^2$ para $1.75 \leq V \leq 2.25$

Solución: a) $D = 15 \text{ ps}/(\text{nm km})$. c) $R = 0.2 / \sqrt{\sigma_i^2 + (D \cdot L \cdot \sigma_\lambda)^2}$ donde σ_λ depende de σ_i como se indica en el enunciado. Para $\sigma_i = 95 \text{ ps}$, se obtiene $R_{\max} = 1.48 \text{ Gbps}$; d) La potencia de pico debe ser mucho menor que -2.4 dBm (0.57 mW)

EJERCICIO 7

Los primeros enlaces submarinos instalados en pasada década utilizaban un régimen binario por canal de 2.5 Gbps. La fibra utilizada para la transmisión es una fibra de sílice de dispersión desplazada (*Non-Zero Dispersion Shifted Fiber, NZDSF*) que presenta una dispersión de guiado de -22 ps/nm/km en $\lambda_0=1550 \text{ nm}$.

- Determinar la longitud máxima que se puede alcanzar en el enlace (sin utilizar repetidores). Dato: Anchura espectral de la señal $\sigma_\lambda=0.089 \text{ nm}$.
- ¿En qué se modificaría el resultado anterior si sabemos que la anchura eficaz de los pulsos de entrada es de 10 ps?
- Estos enlaces hacían uso de fibra de dispersión convencional o standard con objeto de compensar totalmente el efecto dispersivo de la fibra NZDSF en $\lambda_0=1550 \text{ nm}$. Obtener la longitud de la fibra convencional necesaria si sabemos que es de sílice y de dispersión de guiado de -2 ps/nm/km en $\lambda_0=1550 \text{ nm}$.

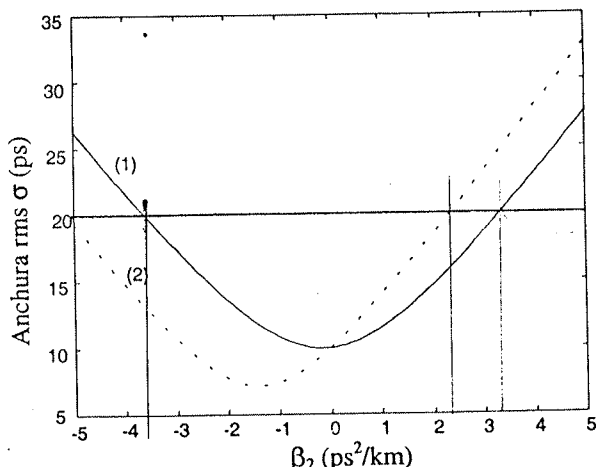
- d) Si se dispone de amplificadores EDFA de 20 dB ganancia en potencia y se pretende obtener un enlace de 1500 km, represente de forma aproximada el aspecto del sistema resultante. Considere una atenuación de 0.2 dB/Km en las fibras.
- e) Considera a continuación una pendiente de dispersión (ó dispersión de segundo orden) para ambas fibras de valor $dD(\lambda)/d\lambda=0.1$ ps/nm²/km. Si se considera un espaciado entre canales de 0.4 nm (50 GHz), ¿cuál es el número máximo de canales que se pueden transmitir en el enlace de 1500 km atendiendo únicamente a la dispersión? ¿Sería crítico el efecto no lineal de FWM?

Solución: a) $L_1=450$ km; b) Nada c) $L_2=50$ km. d) Son necesarios 15 EDFA's
e) 31 canales. No es crítico, pues no se transmite alrededor de la longitud de onda de β_2 nula.

✓ EJERCICIO 8

En la siguiente gráfica se muestra la evolución de la anchura eficaz de un pulso gaussiano (sin chirp inicial) tras la propagación en una fibra no lineal de 100 km, en función de su coeficiente de dispersión β_2 . La curva (1) corresponde a una potencia de pico de 1 mW mientras que la curva (2) corresponde a una potencia de pico de 10 mW.

Dato: Coeficiente de no linealidad $\gamma=0.002$ (mW·Km)⁻¹



- a) Justifique la evolución de la anchura descrita en las curvas (1) y (2).
b) ¿Cuál es aproximadamente el valor de β_2 máximo admisible en uno y otro caso para transmitir a un régimen binario de 10 Gbps?. Justifique los criterios adoptados.

Solución: a) Curva (1) Efecto no lineal despreciable $L=100$ km < $L_{NL}=500$ km
Dispersión ocasiona ensanchamiento del pulso

Curva (2) Efecto no lineal apreciable $L=100$ km > $L_{NL}=50$ km
Dispersión con $\beta_2 > 0$ incrementa ensanchamiento del pulso

b) Para $\sigma_{max}=20$ ps, curva (1) $|\beta_2|_{max}=3.5$ ps²/km; curva (2) $-5 < \beta_2 < 2.5$

✓ EJERCICIO 9

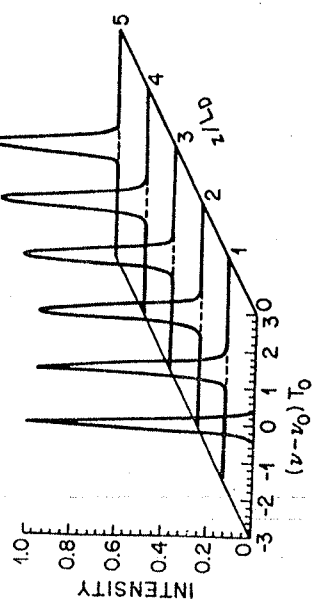
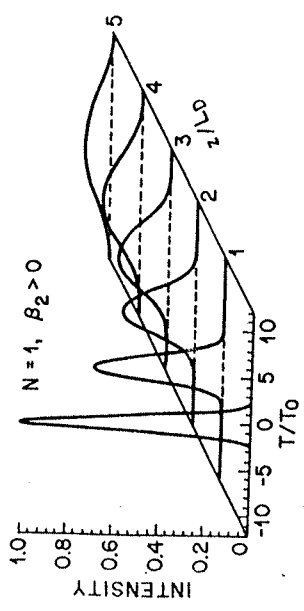
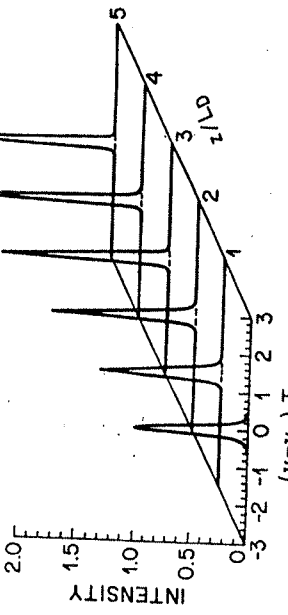
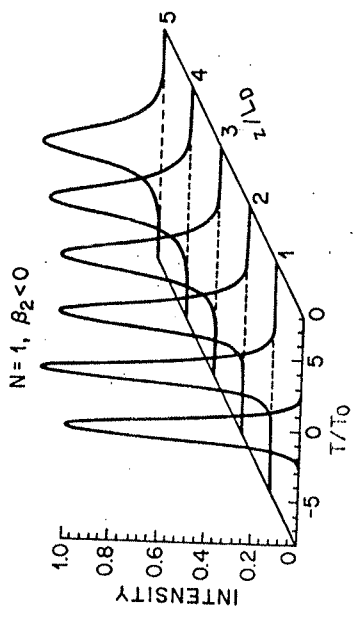
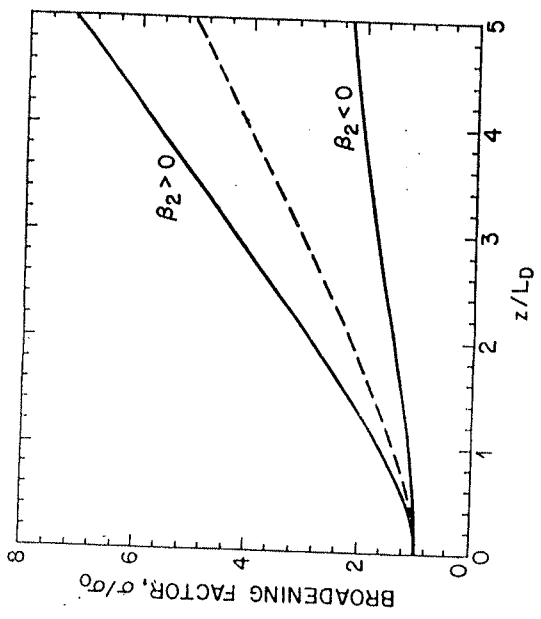
Al transmitir N canales por una fibra en régimen no lineal, se generarán M productos de intermodulación (PIM) próximos a las bandas de señal a frecuencias f_{ijk} , donde:

$$M = \frac{1}{2} (N^3 - N^2) \quad f_{ijk} = f_i + f_j - f_k \quad i, j, k = 1..N \quad k \neq i, j$$

- Considérese la propagación WDM de tres canales a frecuencias ópticas f_1 , f_2 y f_3 ($f_1 < f_2 < f_3$). Obtenga el número de productos de intermodulación que interferirán con canales de señal si se considera que los canales están equiespaciados en Δf .
- De tener que ubicar los tres canales equiespaciados en una fibra de dispersión desplazada (DSF), ¿dónde lo haría?. Razona la respuesta.
 - 1-Todos a longitudes de onda menor de la de dispersión nula
 - 2-Situar el canal central coincidiendo con la longitud de onda de dispersión nula
 - 3-Todos a longitudes de onda mayor de la de dispersión nula
- Una forma sencilla de reducir el efecto no lineal de FWM es la técnica de espaciado desigual de canales. Si la aplicación de esta técnica al sistema de tres canales consiste en situar los canales según las siguientes relaciones:
$$f_2 - f_1 = \Delta f \quad f_3 - f_2 = 2 \cdot \Delta f$$

Deduzca las ventajas e inconvenientes de la aplicación de ésta técnica.

Solución. a) f_{223} , f_{312} , f_{221} b) Opción 3 por reducir efecto FWM y porque para $D>0$ se compensan (en parte) el efecto dispersivo y el no lineal SPM dentro de cada canal d) No caen PIM en canales de señal (no hay, por lo tanto, interferencias) aunque se produce degradación en el nivel de cada canal de señal



EJERCICIOS - DISPERSION Y NO LINEALIDAD

①

Fuentes monomátricas

N señales digitales en una ventana

Opción 1: N fuentes \rightarrow multiplexación óptica

Opción 2: multiplexar en terreno eléctrico y trabajar una fuente en la central



La dispersión depende del BW de la señal \Rightarrow mayor ancho más BW, por lo que es mejor la opción 1

② Modelos

a) Relación entre s_o (audura RMS sólida) y s_i (antrada) suponiendo fuente monomátrica

Dado que la fuente es monomátrica, se puede ignorar la dispersión del material

$$D_w(\lambda) = -\frac{\lambda}{c} \frac{d^2 n(\lambda)}{d \lambda^2}$$

de forma que la dispersión es $D(\lambda) = D_w(\lambda) = -\frac{n^2 \Delta}{c} \lambda \sqrt{\frac{d^2 (N_b)}{d \lambda^2}}$

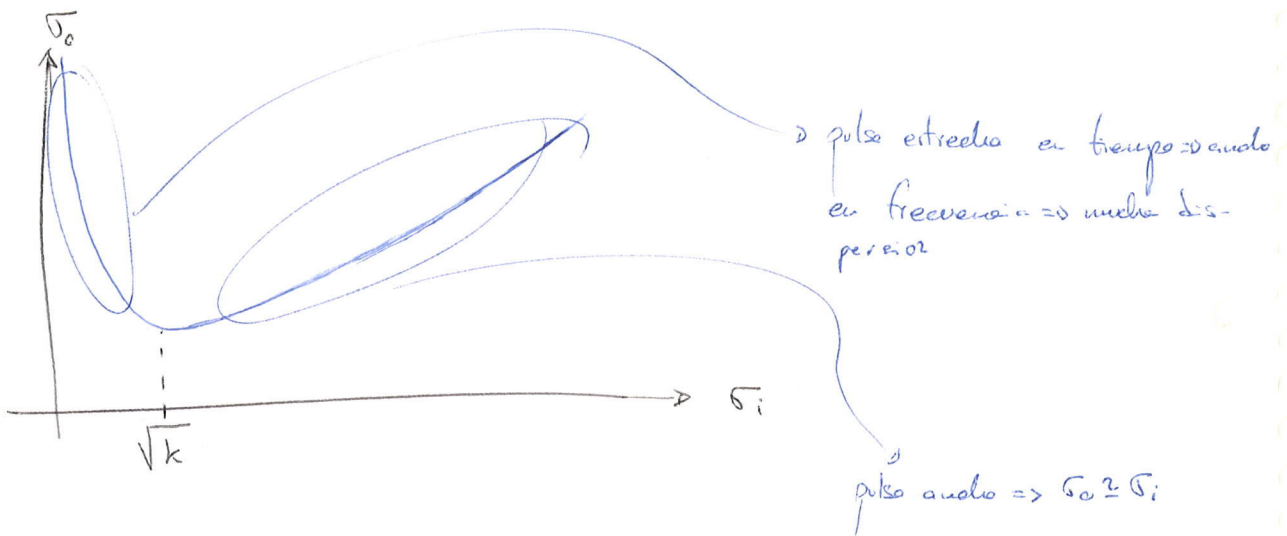
y la audura de los pulsos = la sólida

$$\sigma_o^2 = \sigma_i^2 + (L D_w(\lambda_0) \sigma_\lambda)^2$$

σ_o es una anchura efectiva, así que la anchura de pulso se da:

$$\sigma_i = 1/\sigma_o$$

$$\Rightarrow \sigma_o^2 = \sigma_i^2 + \left(L D_w(\lambda) \frac{1}{\sigma_i} \right)^2 \Rightarrow \boxed{\sigma_o = \sqrt{\sigma_i^2 + \frac{k^2}{\sigma_i^2}}}$$



$$\lim_{\sigma_i \rightarrow 0} \sigma_o = \infty$$

$$\lim_{\sigma_i \rightarrow \infty} \sigma_o = \infty$$

(3)

$$D(\omega) = L^{-1} \left(\frac{d \tilde{g}_c(\omega)}{d\omega} \right)$$

} demonstrar

$$D(\omega) = - \frac{2\pi c}{\omega^2} \frac{d^2 \beta(\omega)}{d\omega^2}$$

$$\tilde{g}_c(\omega) = L \frac{d\beta}{d\omega} \quad \omega = \frac{2\pi}{\lambda} c \quad \lambda = \frac{2\pi}{\omega} c = 0 \quad d\lambda = - \frac{2\pi}{\omega^2} c d\omega$$

$$D(\omega) = L^{-1} \left(\frac{d}{d\lambda} \left(L \frac{d\beta}{d\omega} \right) \right) = - \frac{\omega^2}{2\pi c} \frac{d^2 \beta}{d\omega^2}$$

$$D(\omega) = - \frac{2\pi c}{\omega^2} \frac{d^2 \beta(\omega)}{d\omega^2}$$

$$S(\omega) = \frac{d D(\omega)}{d\omega} \quad \longrightarrow \quad S(\omega) = \frac{(2\pi c)^2}{\omega^4} \frac{d^3 \beta}{d\omega^3} + \frac{4\pi c}{\omega^3} \frac{d^2 \beta}{d\omega^2}$$

$$\begin{aligned} \frac{dD(\omega)}{d\omega} &= \frac{d}{d\omega} \left(- \frac{2\pi c}{\omega^2} \frac{d^2 \beta(\omega)}{d\omega^2} \right) = + \frac{4\pi c}{\omega^3} \frac{d^2 \beta(\omega)}{d\omega^2} + \left(\frac{2\pi c}{\omega^2} \right) \frac{d}{d\omega} \left(\frac{d^2 \beta(\omega)}{d\omega^2} \right) \\ &= \frac{4\pi c}{\omega^3} \frac{d^2 \beta(\omega)}{d\omega^2} + \frac{2\pi c}{\omega^2} \left(\frac{\omega^2}{2\pi c} \right)^2 \frac{d^3 \beta(\omega)}{d\omega^3} = \\ &= \frac{4\pi c}{\omega^3} \frac{d^2 \beta(\omega)}{d\omega^2} + \left(\frac{2\pi}{\omega^2} \right)^2 \frac{d^3 \beta(\omega)}{d\omega^3} \end{aligned}$$

(4)

$$R = 2 \text{ Mbps}$$

$$\alpha = 2 \text{ dB/km} \quad \text{a } 800 \text{ nm}$$

$$\lambda_0 = 800 \text{ nm}$$

$$\frac{d^2 u(\lambda)}{d\lambda^2} = 0.045 \mu\text{m}^{-2} \quad \text{a } 800 \text{ nm}$$

$$n_1 = 1.5$$

$$G_s = 30 \text{ nm}$$

$$\Delta = 0.01$$

$$P_f = 3 \text{ mW}$$

$$a = 4.5 \mu\text{m}$$

$$P_{\min} = -35 \text{ dBm}$$

Distancia máxima?

Primero la atenuación:

$$P_f = 3 \text{ mW} = 4.77 \text{ dBm}$$

$$\text{Att}_{\max} = 4.77 + 35 = 39.77 \text{ dB} = 2 \text{ dB} \cdot L$$

$$\boxed{L_a = 19.88 \text{ km}}$$

Ahora veamos cuánto límite la dispersión:

$$R = 2 \text{ Mbps} \Rightarrow R < \frac{1}{\tau_a} \Rightarrow \tau_a < 9.5 \cdot 10^{-8} \text{ s} = 9.5 \text{ ns}$$

suponiendo 1 pulso = 1 bit

$$\text{Tiempo muerto: } \tau = \frac{2\pi f}{c_0} \sqrt{n_1^2 - n_2^2} \cdot a = 74.78 > 2^{14}$$

⇒ multibit

⇒ despreciamos la dispersión de grupo

$$\tau^2 = \left(L_{\text{Dm}}(\lambda_0) G_s \right)^2 + (\tau_{\text{inter}})^2 = \left(\left(D_{\text{m}}(\lambda_0) G_s \right)^2 + \left(\frac{n_1 \Delta}{2c\sqrt{3}} \right)^2 \right) \quad D_{\text{m}}(\lambda_0) = -\frac{\lambda_0}{c} \frac{d^2 u(\lambda_0)}{d\lambda^2}$$

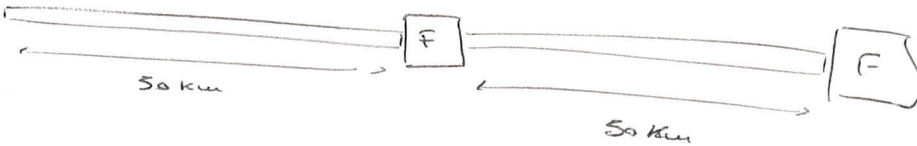
$$\boxed{L_d = 6.4 \text{ km}}$$

Límite la dispersión

(3) Filtro óptico equalizado:

$$H(\omega) = e^{-\frac{(1+jb)(\omega-\omega_0)^2}{\omega_f^2}}$$

Situadas amb 2 km de fibra en dispersion β_2
 α_b, ω_f $L = 50 \text{ km}, \beta_2 = -2156, \text{BW} = 300 \text{ GHz}$



$$H_{FO}(\omega) = e^{-\gamma(\omega)L} = e^{-\alpha(\omega)L} e^{-j\beta(\omega)L} \quad \beta(\omega) = \frac{\beta_2}{2} (\omega - \omega_0)^2$$

↓
Taylor, 2° orden

$$H_{FE}(\omega) H_{FO}(\omega) = 1 = e^{-j\beta(\omega)L} - \frac{(1+jb)(\omega-\omega_0)^2}{\omega_f^2} = 0$$

$$-j\frac{\beta_2}{2}L - j\frac{b}{\omega_f^2} = 0 \quad \text{según la fase}$$

Re filtra una señal dada, que es el ancho de banda ($\pm 3\text{dB}$):

$$|H_{FE}(\omega)| = \frac{1}{\sqrt{2}} = e^{-\frac{(\omega-\omega_0)^2}{\omega_f^2}} = e^{-\frac{(2\pi 150 \text{ GHz})^2}{\omega_f^2}} \Rightarrow \omega_f^2 = 2^{156} \cdot 10^{24}$$

$\omega - \omega_0 = 150 \text{ GHz} \cdot 2\pi$

$$\boxed{\omega_f = 116 \text{ T}}$$

Para la fase: $b = -\frac{\beta_2}{2} L \omega_f^2 = 16384 \cdot 10^{24}$

Otro: unidades de $\beta(\omega) \rightarrow \text{rad/s} \Rightarrow \beta_2 \rightarrow \text{s}^2/\text{km}$ (nec b dada en ps, por tanto $b = 16384$)

(6)

$$\lambda_0 = 1550 \text{ nm}$$

$$L = 150 \text{ km}$$

$$a = 4'2 \mu\text{m}$$

$$n_2 = 1'455$$

$$\Delta = 0'903$$

$$\gamma = 9'0087 \text{ mW}^{-1} \cdot \text{km}^{-1}$$

$$\tau_2(\text{nm}) = 4 \left(\frac{\epsilon_i}{\epsilon_i^*} \right) \quad \epsilon_i \leq 40 \text{ ns}$$

$$= 10^{-4} \quad \epsilon_i > 40 \text{ ns}$$

a) Dispersion en ps/ $\text{km} \cdot \text{nm}$ si $D_w(\lambda_0) = 20 \text{ ps}/\text{km} \cdot \text{nm}$

Frecuencia normalizada: $V = \frac{2\pi}{\lambda_0} \sqrt{n_1^2 - n_2^2}$ $a = 1'92 \approx 214 \Rightarrow$ banda de

$$n_1 = \frac{n_2}{1 - \Delta} = 1'4594$$

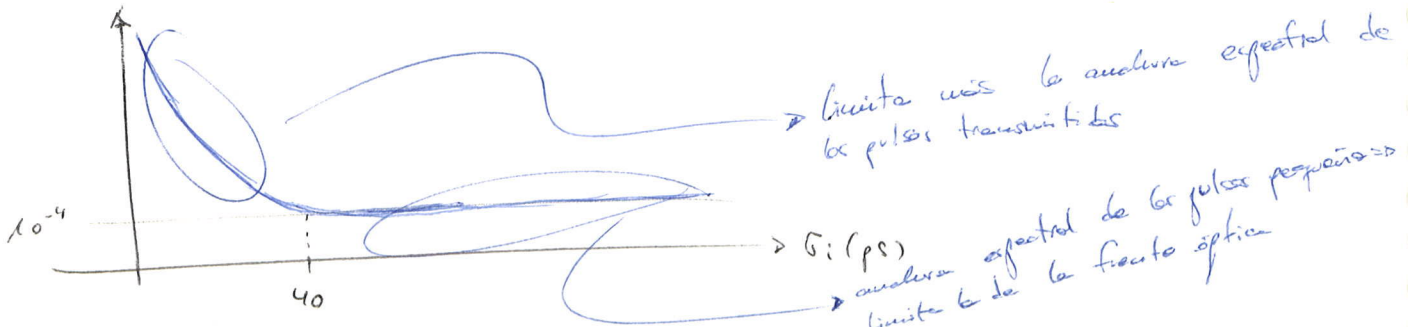
$$V \frac{d^2(Vb)}{dv^2} \approx \frac{2}{v^2} \quad \text{para } 1'75 \leq v \leq 2'25$$

$$\Rightarrow V \frac{d^2(Vb)}{dv^2} \approx 0'54$$

$$\boxed{D(\lambda_0) \approx D_w(\lambda_0) + D_w(\lambda_0) = 20 + \left(-\frac{n_2 \Delta}{c \lambda} \right) V \frac{d^2(Vb)}{dv^2} = 20 + (-5'076) = 15 \text{ ps}/\text{km} \cdot \text{nm}}$$

b) Justificar $\tau_2(\text{nm}) = 4/\epsilon_i \quad \epsilon_i \leq 40 \text{ ns}$

$$\tau_2(\text{nm}) = 10^{-4} \quad \epsilon_i > 40 \text{ ns}$$



c) Sólo límite de dispersión \rightarrow ¿ $R_{\max}(t_i)$?

$$L = 150 \text{ km} \quad R < \frac{0.2}{5}$$

$$\sigma^2 = \sigma_i^2 + (L D(\lambda_0) \sigma_d)^2 \Rightarrow \sigma = \sqrt{\sigma_i^2 + (2250 \sigma_d)^2}$$

$$R < \frac{2}{3} \frac{10^{-11}}{\sigma_d^2}$$

$$R < \frac{0.2}{\sqrt{\sigma_i^2 + (2250 \sigma_d)^2}}$$

Resumen:

$$2\sigma_i + 3000 \left(\frac{-4}{\sigma_i^2} \right) = 0 \rightarrow \sigma_i^3 = 6000 \rightarrow \sigma_i = 18.12 \text{ ps}$$

$$2\sigma_i + 3000 \cdot 10^{-4} = 0 \rightarrow \sigma_i = 0.15 \text{ ps}$$

$$2\sigma_i - 2 \cdot 2250 \cdot \frac{16}{\sigma_i^3} = 0 \Rightarrow \sigma_i^4 = 2250^2 \cdot 16 / 94186 \text{ ps}$$

$$2\sigma_i + (2250 \cdot 10^{-1})^2 = 0 \Rightarrow \sigma_i = 0.025 \text{ ps} \quad !! \quad \text{No!}$$

$$\sigma_i = 94186 \text{ ps} \Rightarrow R_{\max} = 1491 \text{ Gbps}$$

2) Potencia de pico máxima para ese Ruido y poder despolarizar la red linealizada

$$L_D \ll L_{NL}$$

$$\frac{d^2 \beta(z_0)}{dz^2}$$

$$L_D = \frac{T_0^2}{|\beta_{21}|}$$

$$D(\lambda) = -\frac{2\pi c}{\lambda^2} \beta_2$$

$$\bar{\tau}_0^2 = \sigma_z^2 = \left(\frac{0.2}{R} \right)^2$$

$$L_D = \frac{g'^2 \cdot 2\pi c}{\lambda^2 R^2 |D(\lambda_0)|} = 955'17 \text{ km}$$

$$L_{NL} = \frac{1}{8P_0} \gg L_D \Rightarrow \boxed{P_0 \ll \frac{1}{8L_D} = 9283 \text{ mW} (-5.5 \text{ dBm})}$$

7) $R = 2.56 \text{ Gbps}$ por canal

NZ DSF, -22 ps/km.km en $\lambda = 1550 \text{ nm}$

a) $\delta_2 = 0.989 \text{ nm}$

Largo de máxima sin repetidores

$$\tau = \frac{0.2}{R} = \frac{0.2}{2.56 \cdot 10^9} = 8 \cdot 10^{-11} \text{ s} = 80 \text{ ps}$$

$$\frac{\tau}{2} = (D_{NL}(\lambda_0) + D_W(\lambda_0)) \mid \delta_2$$

20 ps/km.nm para $S:0.2 \Rightarrow \lambda_0 = 1550 \text{ nm}$

$$\frac{\tau}{L} = 2 \text{ ps/km.nm} \cdot \delta_2 \Rightarrow \boxed{L = 44944 \text{ km}}$$

$$b) \quad \tau_o^2 = \tau_i^2 + \tau^2$$

$$\tau_i = 10 \text{ ps} \quad \rightarrow \tau_o^2 = 6500 \rightarrow \tau_o = 80.62 \approx 80 \text{ ps}$$

No afecta operar

$$c) \quad \text{Fibre convencional} \rightarrow D_w(\lambda_0) = -2 \text{ ps/km} \cdot \text{nm}$$

Silicato: $D_s(\lambda_0) \approx D_{su}(\lambda_0) + D_{sw}(\lambda_0) = 18 \text{ ps/km} \cdot \text{nm}$

NZDSF: $D_N(\lambda_0) \approx D_{Nu}(\lambda_0) + D_{Nw}(\lambda_0) = -2 \text{ ps/km} \cdot \text{nm}$

$$L_s D_s + L_w D_N = 0 \quad \Rightarrow \quad L_s = 50 \text{ km}$$

$$b) \quad \text{EDFA } 20 \text{ dB}$$

$$L = 1500 \text{ km}$$

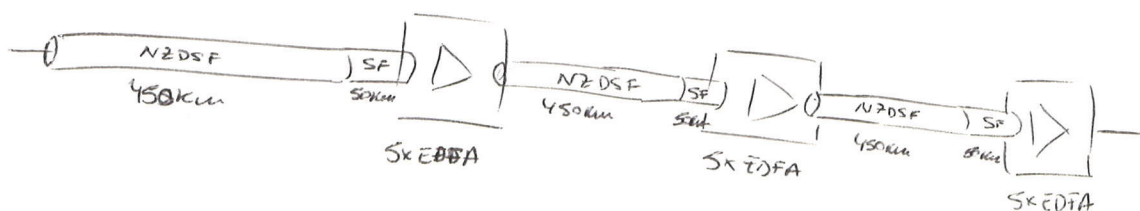
$$\alpha = 0.2 \text{ dB/km en las fibras}$$

Aspecto del sistema

$$\text{Aumento total} = \alpha \cdot L = 300 \text{ dB}$$

Hacer falta $\frac{300}{20} = 15 \text{ EDFA}$

¿Cúantas dispos? 3 tramos de 500 km;



$$e) \frac{d D(\lambda)}{d \lambda} = 0'1 \text{ ps/mm}^2 \cdot \text{km}$$

$$\Delta\lambda = 0'4 \text{ nm} \quad (500 \text{ GHz})$$

Canales atendiendo sólo a la dispersión, $L = 150 \text{ km}$

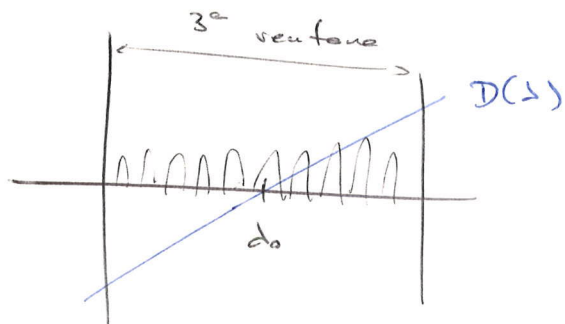
$$\sigma = |D(\lambda_0)| L \sigma_\lambda$$

$$\sigma = 80 \text{ ps}$$

$$\sigma_\lambda = 0'089 \text{ nm}$$

$$\frac{d D(\lambda)}{d \lambda} (\lambda - \lambda_0) = 0 \quad \lambda - \lambda_0 = \frac{\sigma}{L \sigma_\lambda \cdot \frac{d D(\lambda)}{d \lambda}}$$

$$\lambda - \lambda_0 = 519925 \text{ nm} \rightarrow n_{\text{canales}} = \frac{\lambda - \lambda_0}{\Delta \lambda} \approx 15$$



Serían 15 canales a cada lado
y no central

\Rightarrow (3) canales

¿Efecto no lineal crítico? FWM limita la tx WDM sólo si se opera cerca de la d de dispersión nula, cosa que no ocurre

En los tramos de Scenario:

$$\boxed{n_{\text{canales}} = 91}$$

(8)

$$L = 100 \text{ km} \quad \text{fó no lineal}$$

$$P_{01} = 1 \text{ mW}$$

$$P_{02} = 10 \text{ mW}$$

$$\chi = 0'002 \left(\text{mW} \cdot \text{km} \right)^{-1}$$

$$(1) \rightarrow L_{NL1} = \frac{1}{\gamma P_{01}} = 500 \text{ km} > L = 100 \text{ km} \Rightarrow \text{efecto no lineal despreciable}$$

El ensanchamiento lo prevoca la dispersión

$$(2) \rightarrow L_{NL2} = \frac{1}{\gamma P_{02}} = 50 \text{ km} < L = 100 \text{ km} \Rightarrow \text{efecto no lineal apreciable}$$

Al ser $\beta_2 > 0$ aumenta el ensanchamiento.

b) $R_{max} = 106 \text{ bps}$

$$T_{max} = \frac{0'2}{R_{max}} = 20 \text{ ps}$$

Mirando las curvas

$$(1) \Rightarrow -3'75 < \beta_2 < 3'25$$

$$(2) \Rightarrow -5 < \beta_2 < 2'25$$

(9)

N canales

f0 no lineal

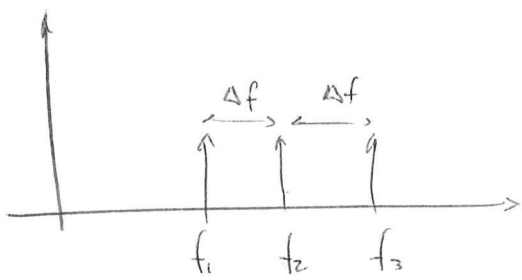
$$\mu = \frac{1}{2} (N^3 - N^2)$$

RIM f_{ijk}

$$f_{ijk} = f_i + f_j - f_k \quad k \neq ij$$

a) 3 canales f_1, f_2, f_3 separados Δf

$$\mu = \frac{1}{2} (3^3 - 3^2) = \frac{1}{2} (27 - 9) = 9 \quad RIM$$



RIM que interfieren:

$$f_{ijk} = f_i - f_j - f_k$$

$$f_1 = f_1$$

$$f_2 = f_1 + \Delta f$$

$$f_3 = f_1 + 2\Delta f$$

$$f_1 = f_1 + \Delta f + f_1 + \Delta f - f_1 - 2\Delta f = f_{223}$$

$$f_2 = f_1 + 2\Delta f + f_1 - f_1 - \Delta f = f_{312}$$

$$f_3 = f_1 + \Delta f + f_1 + \Delta f - f_1 = f_{221}$$

b) Multicanal \Rightarrow FWM si cerca de la esperanza nulaEn $\lambda_{D=0}$ nulo porque hay FWMEn $\lambda > \lambda_{D=0}$ mejor que a la otra, ya que para $D > 0$ se compensan en parte los efectos dispersive y FWM en cada canal si $\beta_2 < 0$

- (c) ✓ No hay RIM en los canales de señal \Rightarrow no interacciones
 ✗ Mayor $\beta W = 0$ aumenta dispersión \rightarrow degradación